

## บทที่ 2

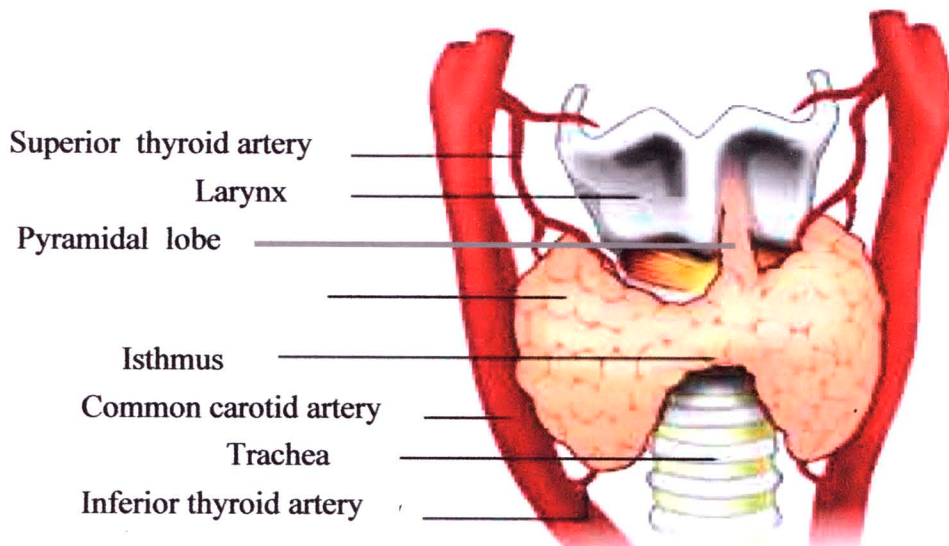
### กุญแจพิมฐาน

#### 2.1 กายวิภาคของต่อมไทรอยด์ (anatomy of thyroid gland )

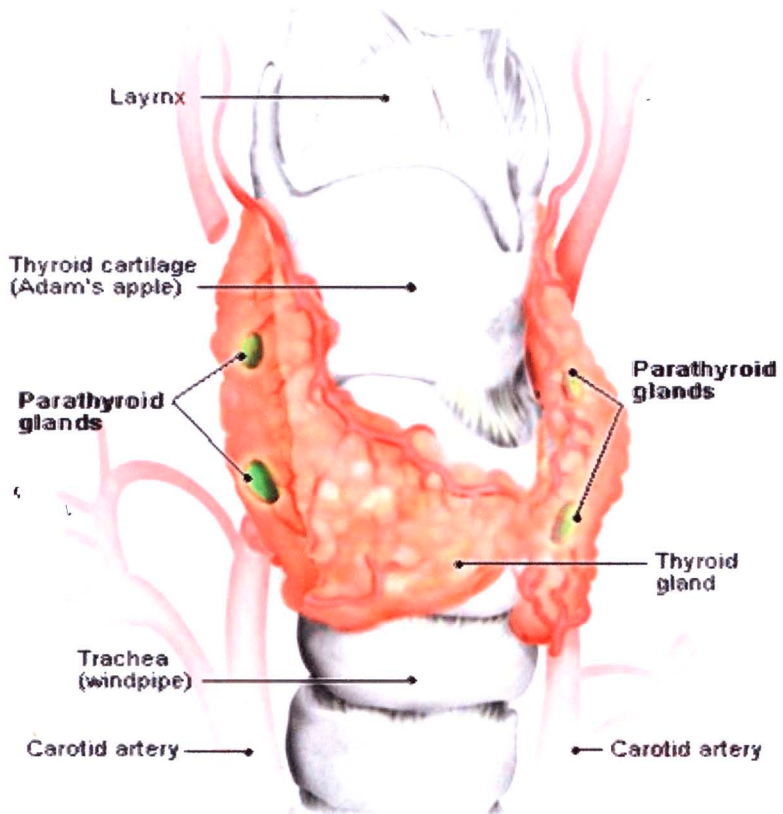
##### 2.1.1 ลักษณะรูปร่างทั่วไป

ต่อมไทรอยด์ เป็นต่อมไวร์ทอที่ใหญ่ที่สุดของร่างกาย มีรูปร่างคล้ายผีเสื้อ สีน้ำตาลแดง น้ำหนักประมาณ 20 กรัม แบ่งออกเป็น 2 กลีบซ้ายและขวา เชื่อมต่อกันตรงกลางด้วยเนื้อเยื่อ เกี้ยวพัน (connective tissue) ที่เรียกว่าคอคอด (isthmus) ต่อมไทรอยด์แต่ละกลีบมีความหนา ประมาณ 2 เซนติเมตร (ซม.) กว้าง 2 ซม. และยาวประมาณ 4 ซม. ส่วนคอคอดจะมีความหนาประมาณ 0.5 ซม. กว้าง 2 ซม. และสูง 2 ซม. ในบางคนอาจมีพิรามิดอลโลป (pyramidal lobe) ซึ่งเป็นส่วนที่ยังเหลืออยู่ของปลายล่างสุดของท่อเอ็นบริโภคenic หรือกลีสชัล (embryogenic thyroglossal duct)<sup>(15)</sup> ขึ้นจากด้านซ้ายของคอคอด ดังรูป 2.1

ด้านหลังของต่อมไทรอยด์แต่ละกลีบจะมีต่อมขนาดเล็กฝังอยู่กลีบละ 2 ต่อมเรียกว่า ต่อมพาราไทรอยด์ ( parathyroid gland) ดังรูป 2.2



รูป 2.1 กายวิภาคของต่อมไทรอยด์ด้านหน้า แสดงตำแหน่งที่ตั้ง รูปร่าง เส้นเดือดที่เข้ามาเลี้ยง ต่อมไทรอยด์ พิรามิดอลโลป และอวัยวะใกล้เคียง ( แหล่งที่มา; <http://technologysifi.blogspot.com/2010/03/glands-pituitary-and-thyroid-gland.html> )

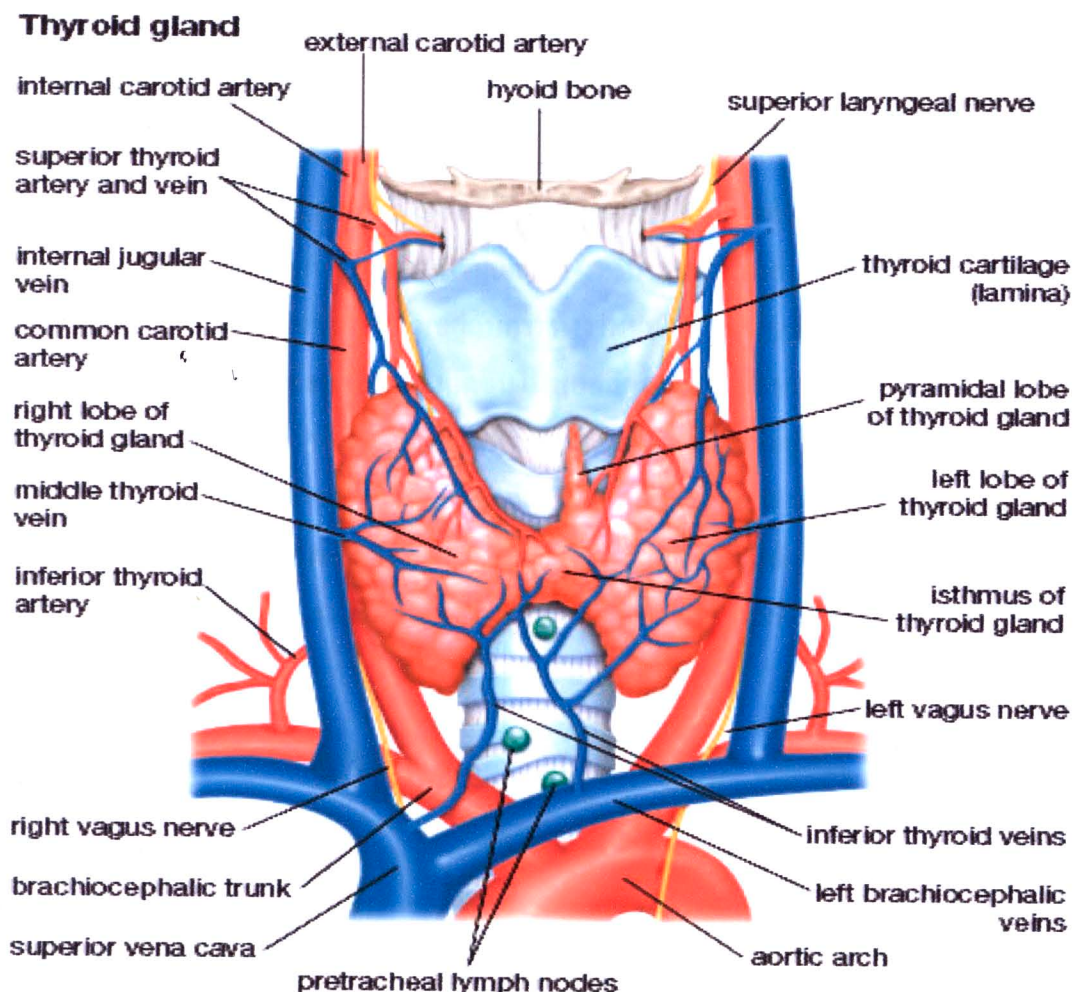


รูป 2.2 กายวิภาคของต่อมไทรอยด์ค้านหลัง แสดงตำแหน่งของต่อมพาราไทรอยด์จำนวน 4 ต่อม ที่อยู่ค่อนไปด้านหลังของกลีบต่อหลอดลมทั้งซ้ายและขวา  
(แหล่งที่มา; <http://www.bangkokhealth.com/2009>)

### 2.1.2 ตำแหน่งของต่อมไทรอยด์

ตำแหน่งของต่อมไทรอยด์ปกติจะตั้งอยู่บริเวณคอทางด้านหน้าระหว่างหลอดลม (trachea) และกล่องเสียง(larynx) อยู่ระดับกระดูกอ่อนไทรอยด์ (thyroid cartilage) หรือ ถุงกระเดือก(Adam's apple) และอยู่เหนือรอยเว้าชุบประสาทเตอร์นัล (suprasternal notch) ซึ่ง จะตรงกับระดับของกระดูกสันหลังส่วนคอ (cervical vertebrae) ชิ้นที่ 5 ถึงกระดูกสันหลังส่วนอก (thoracic vertebrae) ชิ้นที่ 1 อยู่หลังกล้ามเนื้อสเตอร์โนไทรอยด์ (sternothyroid) และ สเตอร์โนไฮรอยด์ (sternohyoid) และต่อมไทรอยด์นั้นยังติดอยู่กับกระดูกอ่อนไครโคيد (cricoid cartilage) และกระดูกอ่อนไทรอยด์ (thyroid cartilage) อีกด้วย ทำให้มีการเคลื่อนที่ ขึ้นลงเวลาหายใจและสั่นเวลาพูด ต่อมไทรอยด์มีเส้นเลือดแดงใหญ่สองเส้นมาเลี้ยง คือ เส้นเลือดแดงค้านบนของต่อมไทรอยด์ (superior thyroid artery) ซึ่งแตกแขนงมาจากเส้นเลือดแดงคาริติด (external carotid artery) อีกเส้นหนึ่งคือเส้นเลือดแดงค้านล่างของต่อมไทรอยด์ (inferior thyroid artery)

thyroid artery) ที่แตกแขนงมาจากเส้นเลือดแดงใต้กระดูกไหปลาร้า (subclavian artery)<sup>(16)</sup> ดังรูป 2.3



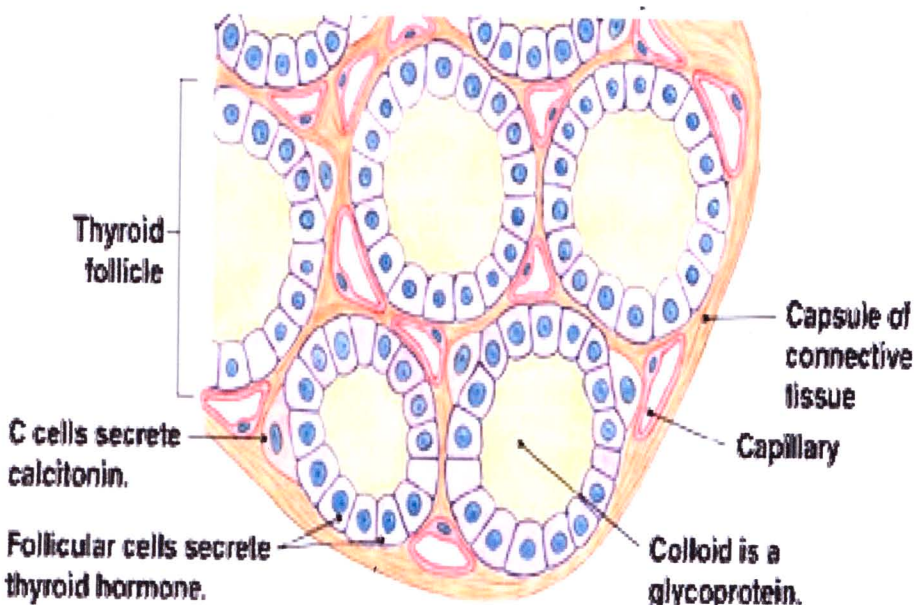
รูป 2.3 กายวิภาคของเส้นเลือดแดง เส้นเลือดดำ และเส้นประสาท ของต่อมไทรอยด์  
( แหล่งที่มา ; <http://medicalastrologybyeileennauman.blogspot.com/2009/> )

### 2.1.3 โครงสร้างของต่อมไทรอยด์

ต่อมไทรอยด์แต่ละกลีบจะมีเยื่อหุ้มเรียกว่าแคปซูล (capsules) ซึ่งเป็นเนื้อเยื่อเกี่ยวพันที่มาหุ้มโดยรอบ กายในจะมีส่วนยื่นเรียกว่าเซ็ปต้า (septa) หรือ ทรานเบคคิวลา (trabecular) ทำหน้าที่แบ่งเนื้อต่อมออกเป็นส่วนเล็กๆ เพื่อเป็นทางผ่านของเส้นเลือด เส้นประสาทและท่อน้ำเหลือง ตัวต่อมไทรอยด์จะประกอบด้วยห้องกลม ๆ หลายอัน เรียกว่า ไทรอยด์ฟอลลิเคิล (thyroid follicle) เรียงต่อกัน โดยแต่ละอันจะประกอบด้วยเซลล์เยื่อบุผิวนิคลูกนาศก์

(cuboid) เรียกว่า ฟอลลิคูลาเซลล์ (follicular cell) เรียกตัวเป็นชื่นเดียวล้อมรอบช่องว่าง ซึ่งบรรจุสารข้นเหนียว เรียกว่า คอโลออยด์ (colloid) ซึ่งมีส่วนประกอบหลักเป็นไกโอลโคโปรตีน (glycoprotein) ที่ผลิตจากเซลล์เยื่อบุผิว เรียกว่า ไทโรโกลบูลิน (thyroglobulin ; Tg )<sup>(17)</sup>

ฟอลลิคูลาเซลล์(follicular cell) ทำหน้าที่สังเคราะห์และหลั่งฮอร์โมนไทรอกซีน (thyroxine หรือ tetraiodothyronine ; T<sub>4</sub>) และไทรไอโอดีโนไทรอนิน( triiodothyronine ; T<sub>3</sub>) ซึ่งมีไอโอดีนเป็นส่วนประกอบสำคัญ รอบ ๆ ไทรอยด์ฟอลลิคูลจะมีเส้นเลือดฝอยแทรกอยู่ทั่วไป แต่ละฟอลลิคูลาเซลล์จะมีการเปลี่ยนแปลงรูปร่างจากเซลล์รูปกลูกบาศก์ (cuboidal) เป็นเซลล์รูปสี่เหลี่ยมทรงสูงหรือรูปแท่ง (columnar) ในขณะที่เซลล์กำลังทำหน้าที่หลั่งฮอร์โมนความสูงต่ำของฟอลลิคูลาเซลล์ ขึ้นอยู่กับการทำงานของต่อม ถ้าเซลล์ทรงสูงขึ้นแสดงว่ามีการทำงานมาก การสังเคราะห์ฮอร์โมนจะเกิดขึ้นในฟอลลิคูลาเซลล์ แต่หลังจากสังเคราะห์แล้วจะเก็บสะสมฮอร์โมนไว้ในช่องว่างของไทรอยด์ฟอลลิคูล เส้นบริเวณที่อยู่ระหว่าง ไทรอยด์ฟอลลิคูล เป็นเนื้อเยื่อเกี่ยวพันและพาราฟอลลิคูลาเซลล์(parafollicular cell) หรือ ซีเซลล์ (C-cell) ซึ่งทำหน้าที่ผลิตฮอร์โมนแคลซิโทนิน (calcitonin) ที่ทำงานร่วมกับพาราไทรอยด์ฮอร์โมน (parathyroid hormone) จากต่อมพาราไทรอยด์ ทำหน้าที่ควบคุมความเข้มข้นของแคลเซียมในเลือด<sup>(17,18)</sup> ดังรูป 2.4



รูป 2.4 โครงสร้างของเซลล์ต่อมไทรอยด์ ซึ่งประกอบด้วย แคปซูลของเนื้อเยื่อเกี่ยวพัน ไทรอยด์ฟอลลิคูล ซีเซลล์ สารคอลลออยด์ และเส้นเลือดแดงฝอย (แหล่งที่มา; <http://www.colorado.edu/intphys/Class/IPHY430-200/endocrine2.htm>, 2008 )

## 2.2 การทำงานของต่อมไทรอยด์

### 2.2.1 การสังเคราะห์ไทรอยด์อร์โนน

กระบวนการสังเคราะห์ไทรอยด์อร์โนนประกอบด้วย 3 กระบวนการ คือ

#### 2.2.1.1. กระบวนการดักจับไอโอดีน (iodide trapping)

ธาตุไอโอดีนส่วนใหญ่เข้าสู่ร่างกายในรูปของสารประกอบในอาหาร ที่จะถูกย่อยโดยน้ำย่อยในลำไส้เปลี่ยนเป็นไอโอดายน์ (iodide, I<sup>-</sup>) แล้วคุณสมบัติของไอโอดายน์จะทำให้เกิดการดักจับไอโอดีนโดยการเคลื่อนไหวทางเดินหายใจ แต่ก็สามารถเคลื่อนไหวทางเดินหายใจได้โดยการสูดดม ไอโอดายน์ที่หายใจเข้ามาจะถูกดักจับโดยเยื่อบุทางเดินหายใจ ไอโอดายน์ที่ถูกดักจับจะถูกนำเข้าสู่ต่อมไทรอยด์ โดยอาศัยกลไกการจับนี้เรียกว่า ไอโอดายน์ปั๊ม (iodide pump) ซึ่งจะมีไทรอยด์สติมูลเติ้งฮอร์โนนหรือทีอีสเออช (thyroid stimulating hormone; TSH) จากต่อมใต้สมองส่วนหน้า (anterior pituitary ; TSH) เป็นตัวกระตุ้นการทำงานของปั๊ม โดยเพิ่มอัตราการขับส่ง ถ้ามีระดับฮอร์โนนทีอีสเออช ในระบบแอลตราการขับส่งไอโอดายน์ก็จะสูงตามไปด้วย กลไกนี้ถูกขับขึ้นได้โดยไอโอดีนประจุลบหลายตัว เช่น เปอร์คลอเรต (perchlorate , KClO<sub>4</sub>) เปอร์เทกนิตेट (pertechnetate, TcO<sub>4</sub><sup>-</sup>) และ ไทด์ไซยาเนท (thiocyanate , SCN<sup>-</sup>) ด้วยวิธีแข่งกันเข้าจับกับตัวรับ (competitive inhibitor) ส่วนสารไอโอดายน์ ที่เหลือในการแลือดส่วนใหญ่จะถูกขับออกจากร่างกายทางไต ส่วนน้อยจะถูกขับออกจากร่างกายทางต่อมน้ำลาย และทางเยื่อบุกระเพาะอาหาร

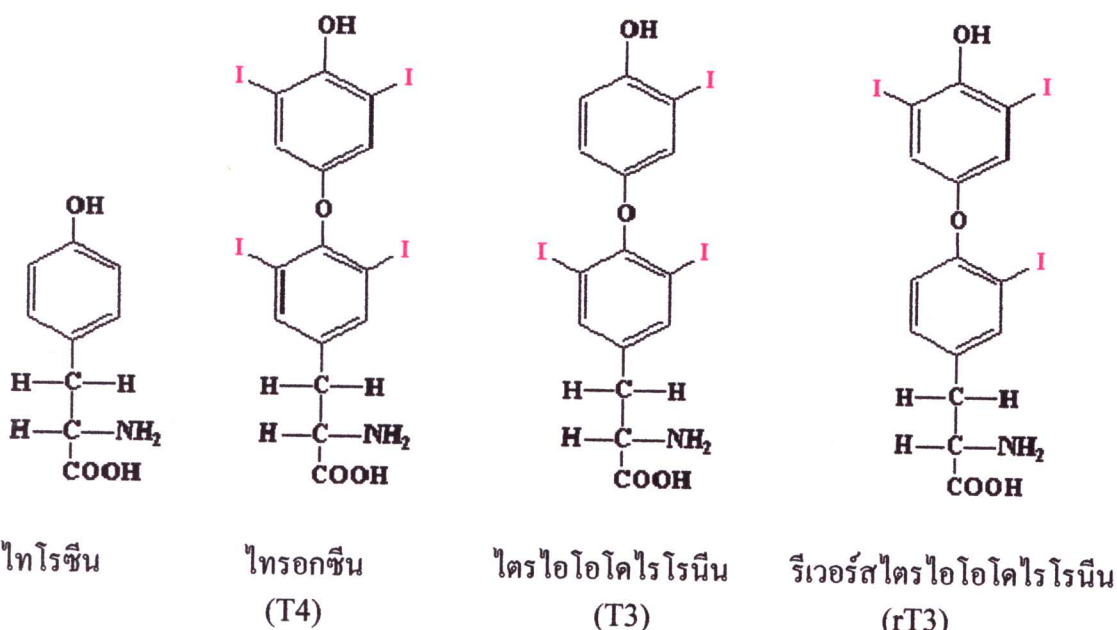
#### 2.2.1.2. กระบวนการออร์แกนิฟิเคชัน (organification)

หลังจากที่ไอโอดายน์เข้าสู่เซลล์ไทรอยด์แล้ว ไอโอดายน์จะถูกออกซิเดต (oxidised) อยู่ในรูปไอโอดีนที่ไวต่อการทำปฏิกิริยา (reactive, I<sup>+</sup>) ซึ่งปฏิกิริยานี้ต้องอาศัยเอนไซม์ไทโรเปอออกซิเดต (thyroperoxidase : TPO) ซึ่งมีอยู่ภายในเซลล์ของต่อมไทรอยด์ เป็นตัวเร่งปฏิกิริยาด้วยโมเลกุลของไฮโดรเจนเปอร์ออกไซด์(hydrogen peroxide : H<sub>2</sub>O<sub>2</sub>) จะรับอิเล็กตรอนจากไอโอดายน์ เปลี่ยนรูปกลับมาเป็น I<sup>+</sup> เข้าแทนที่กลุ่ม OH ในโมเลกุลไทโรซิน ซึ่งเป็นส่วนหนึ่งของไทโรโกลบูลินโมเลกุล เมื่อจับเข้าด้วยกันแล้วก็กลายเป็นไอโอดีนไทโรซิน (iodinated tyrosine) ถ้าจับไอโอดีนได้หนึ่งตัวเริ่มต้นประกอบตัวใหม่นี้ว่า โนโนไอโอดีไทด์ชีนหรือ เอ็นไอที (monoiodotyrosine or MIT) ถ้าจับได้สองตัวเริ่มต้นเรียกว่า ไดไอโอดีไทด์ชีนหรือ ดีไอที (diiodotyrosine or DIT ) ซึ่งสารประกอบที่เกิดขึ้นยังคงติดอยู่ในโมเลกุลของไทโรโกลบูลินตามปกติการสังเคราะห์ ดีไอที จะมากกว่า เอ็นไอที แต่ถ้ามีเอ็นไอทีและดีไอทีเหลือใช้เซลล์จะแยกเอาไอโอดีนคืน (deiodinated) ด้วยเอนไซม์ไอโอดีไทด์ชีน ดีไอดีนส (iodotyrosine deiodinase) ในกรณีที่ขาดเอนไซม์นี้ผู้ป่วยจะมีมีเอ็นไอทีและดีไอที ออกมากับปัสสาวะและมีอาการแสดงสภาวะขาดไอโอดีน

### 2.2.1.3. ปฏิกิริยาจับคู่ (coupling reaction)

การจับคู่ของ ไอโอดีไทโรซิน ไมเลกุลเปลี่ยนเป็น 2 แบบ คือ

- 1) เอ็น ไอทีและดี ไอที อย่างลงทะเบียนตัวจับคู่กัน ได้ผลผลิตเป็น ไตร ไอโอดีไทโรนินหรือที 3 ( triiodothyronine; T3) แต่ถ้าการจับเกิดการสลับตำแหน่งของ ไอโอดิน ใน ไทโรซิน ไมเลกุล ผลผลิตที่ได้จะเป็นรีเวอร์สไตร ไอโอดีไทโรนิน (reversed triiodothyronin ; rT3) ซึ่ง เป็นฮอร์โมนที่ 3 ที่ไม่ออกฤทธิ์ (inactive hormone)
- 2) ดี ไอที 2 ตัว จับคู่กัน ได้ผลผลิตเป็น เตทตรา ไอโอดีไทโรนิน หรือที 4 (tetraiodothyronine; T4) หรือ ไทรอกซิน (thyroxine) ปฏิกิริยาจับคู่จะเกิดจากการเร่ง ปฏิกิริยาของเอนไซม์ไทรโอเพอร์ออกซิเดส (thyroperoxidase)<sup>(17,19)</sup> ได้ผลผลิตดังแสดงในรูป 2.5



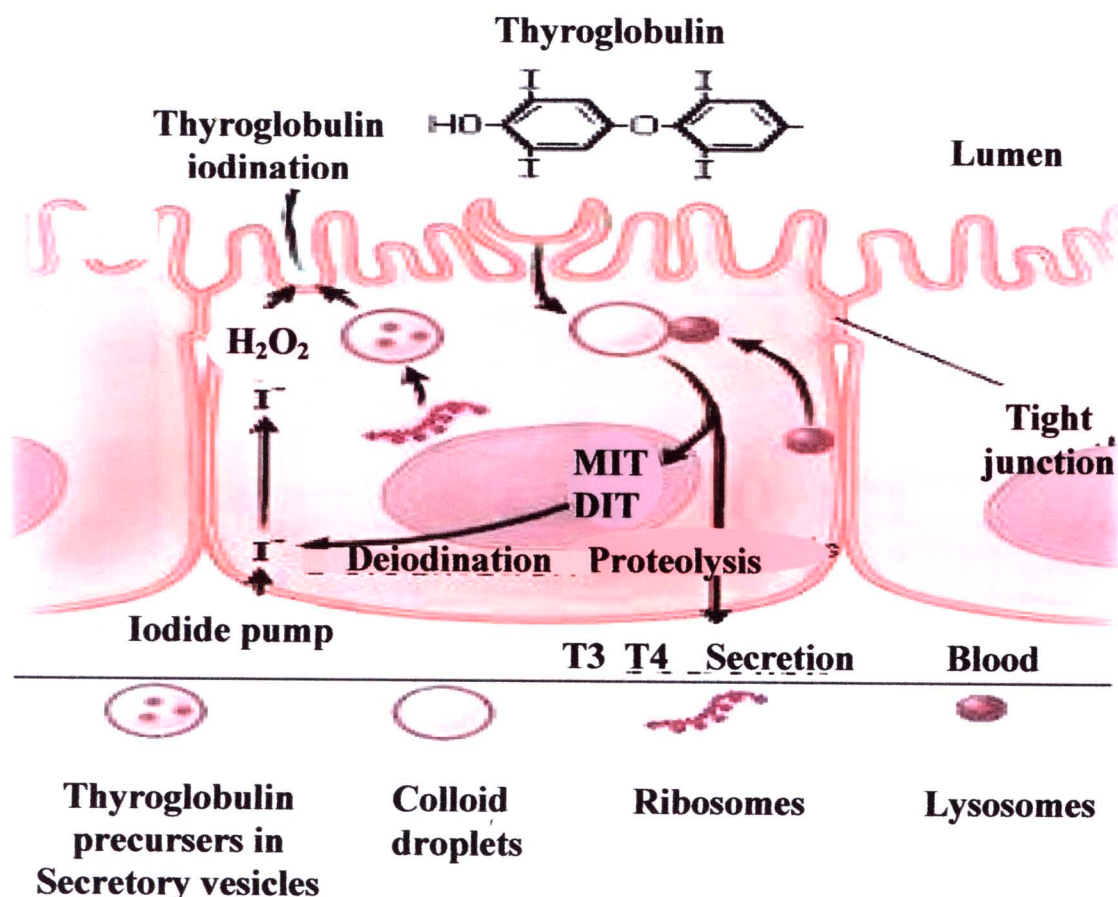
รูป 2.5 สูตรโครงสร้าง ไมเลกุลของผลผลิตที่ได้จากปฏิกิริยาจับคู่ของ ไมเลกุล ไทรอกซิน เป็น ไทรอกซิน (T4) ไตร ไอโอดีไทโรนิน (T3) และรีเวอร์สไตร ไอโอดีไทโรนิน (rT3) (แหล่งที่มา; [http://www.il.mahidol.ac.th/e-media/hormone/chapter4/hormone\\_from\\_thyroid.htm](http://www.il.mahidol.ac.th/e-media/hormone/chapter4/hormone_from_thyroid.htm))

### 2.2.2. การหลั่งไทรอยค์ฮอร์โมนจากต่อมไทรอยด์

ไทรอยค์ฮอร์โมนที่สร้างเสร็จแล้วในรูปของ ที3 และ ที4 จะถูกเก็บสะสมไว้ใน คอลลอกยค์ของ ไทรอยค์ฟอลลิคิล โดยอยู่ร่วมกับโปรตีน ไทรอกลوبูลิน (thyroglobulin) เมื่อ ได้รับการกระตุ้นจาก ฮอร์โมนที่เอสเซอช ที่หลังมา จากต่อมใต้สมองส่วนหน้า (anterior pituitary)



gland ) ฟอลลิคูลาเซลล์ จะหลั่งฮอร์โมนเข้าสู่กระเพาะเลือด ที่ละน้อย ๆ ตามความต้องการของร่างกาย โดยผนังของเอนโดทีเลียร์เซลล์ที่สัมผัสกับคอลลอกอฟิล์ม โอบล้อมคอลลอกอฟิล์มเข้าสู่เซลล์ด้วยวิธี.en โดยไซโทฟิส (endocytosis) จากนั้นไลโซโซม (lysosome) จะกำจัดคอลลอกอฟิล์มไว้ด้วยขบวนการฟากไซโทฟิสกล้ายเป็น ฟากไลโซโซม (phagolysosome) ซึ่งจะเคลื่อนที่ต่อไปยังผนังเซลล์ที่ติดกับเส้นเลือดฟอย ในขณะที่เอนไซม์โปรตีโนเรส (protease) จากไทดิโซมจะย่อยໄไทโรกอลบูลิน เรียกว่ากระบวนการ โปรตีโนไอลเซส (proteolysis) เพื่อปลดปล่อย เอ็นโซที ดีไอที ที่ 3 และ ที่ 4 มีแต่เฉพาะ ที่ 3 และ ที่ 4 เท่านั้นที่จะแพร่เข้าสู่กระเพาะเลือด ส่วน เอ็นโซที และ ดีไอที จะถูกเอนไซม์จากไมโครโซม (microsome) คือ ไอโอไดโตรซีน ดีโซโลเจนส (iodotyrosine dehalogenase) แยกเอาไอโอดีน และ ไทดิโซม ออกจากกัน เรียกว่ากระบวนการ ดีไอโอดีโนเดชัน(deiodination) ไทดิโซมจะถูกนำไปสังเคราะห์เป็น ไทดิโกอลบูลิน และ ไอโอไดด์ จะถูกนำกลับไปสังเคราะห์ฮอร์โมนใหม่<sup>(20)</sup> ดังรูป 2.6

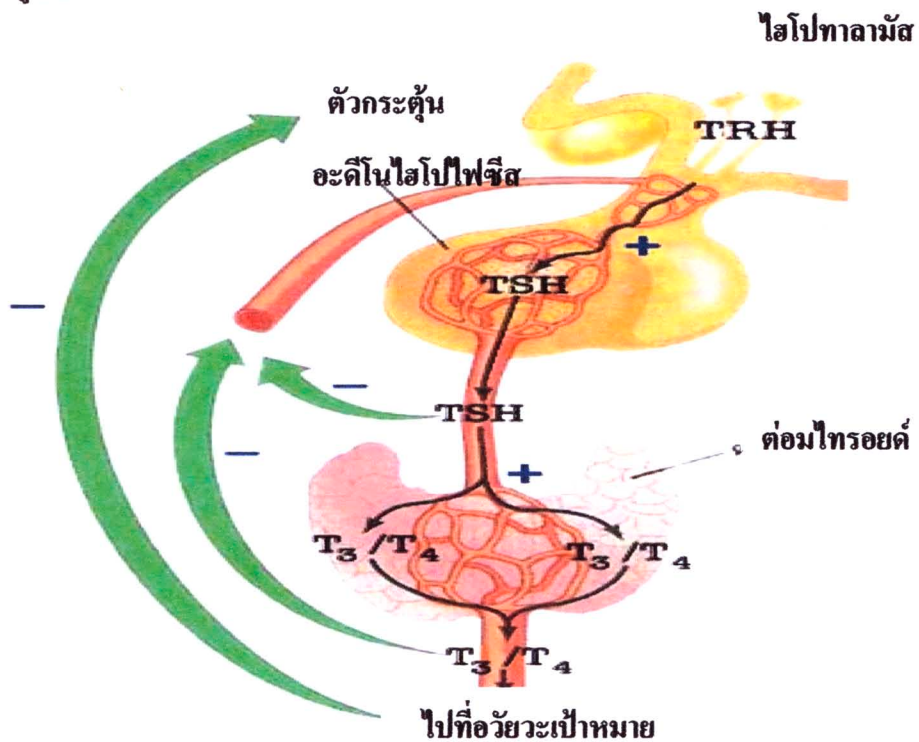


รูป 2.6 การหลั่งไทรอยด์ฮอร์โมนของต่อมไทรอยด์ ผ่านขบวนการเอนไซโนไซต์ ฟากไซโทฟิส ไทดิโซม และ โปรตีโนไอลเซส ของไทรอยด์เซลล์ ( แหล่งที่มา ; [http://fitsweb.uchc.edu/student/selectives/Luzietti/Thyroid\\_hormones.htm](http://fitsweb.uchc.edu/student/selectives/Luzietti/Thyroid_hormones.htm) )

### 2.2.3. การควบคุมการหลั่งไทรอยด์索ร์โนน

การสร้างและการหลั่งไทรอยด์索ร์โนนของต่อมไทรอยด์ จะถูกกระตุ้นโดย索ร์โนนที่เอสເອ່າ ທີ່หลັງຈາກຕ່ອນໄດ້ສ່ວນທຳນໍາ ແລະ ໄກໂໂກໂກປິນຮິລິສ໌ຊິງ ຢອ່າງໂນນ ເຮັດວຽກຍ່ອງວ່າ ທີ່ອາຣ໌ເອ່າ (thyrotropin releasing hormone; TRH) ທີ່หลັງຈາກສ່ວນໃຫຍ່ໂປກລາມສ (hypothalamus) ດ້ວຍການນຶກດັບໄກຮິຍົດທີ່ອາຣ໌ເອ່າ ໃຫຍ່ໄກຮິຍົດໃນເລືອດຄຸດຄົງຕໍ່ກວ່າປົກຕິ ຈະກະຕຸ້ນໄຫ້ ໄກໂໂກໂກລັ້ນສະຫຼັ່ງ ທີ່ອາຣ໌ເອ່າ ໄກໂໂກໂກຕ່ອນໄດ້ສ່ວນທຳນໍາໃຫ້ຫຼັ່ງ ທີ່ອາຣ໌ເອ່າ ເພື່ອໄກໂປກລາມສ ຕ່ອນໄກຮິຍົດ ໄກ້ຫຼັ່ງໄກຮິຍົດທີ່ອາຣ໌ເອ່າ ມີຄວາມອອກສູ່ກະແສເລືອດ ຈະກະທັ່ງຄວາມເຂັ້ມຂັ້ນຂອງໄກຮິຍົດ ຢອ່າງໂນນໃນເລືອດປົກຕິ ໃນກາວ່າທີ່ຮ່າງກາຍຕ້ອງການພັດງານ ເຊັ່ນ ທຳມະນຸດ ອາກະຫາວາ ອູ້ໃນທີ່ສູງ ຜົນກະຕິກະຕິກະຕິ ຈະມີການສ່ວນໄກຮິຍົດທີ່ອາຣ໌ເອ່າພື່ນເຂົ້າ ໃນທາງກລັບກັນເມື່ອຮ່າງກາຍນີ້ ປົກຕິໄກຮິຍົດທີ່ອາຣ໌ເອ່າ ໃນເລືອດສູງກວ່າປົກຕິ ຈະມີຜົນຂອນກລັບໄປໝັ້ນຍິ່ງໃຫ້ຕ່ອນໄດ້ສ່ວນທຳນໍາຫຼັ່ງ ທີ່ອາຣ໌ເອ່າ ນ້ຳຍົງ ທຳໄຫ້ຕ່ອນໄກຮິຍົດຄຸດຄົງຕໍ່ກວ່າໄກຮິຍົດທີ່ອາຣ໌ເອ່າ ຈະກະທັ່ງອູ້ໃນຮະດັບປົກຕິ

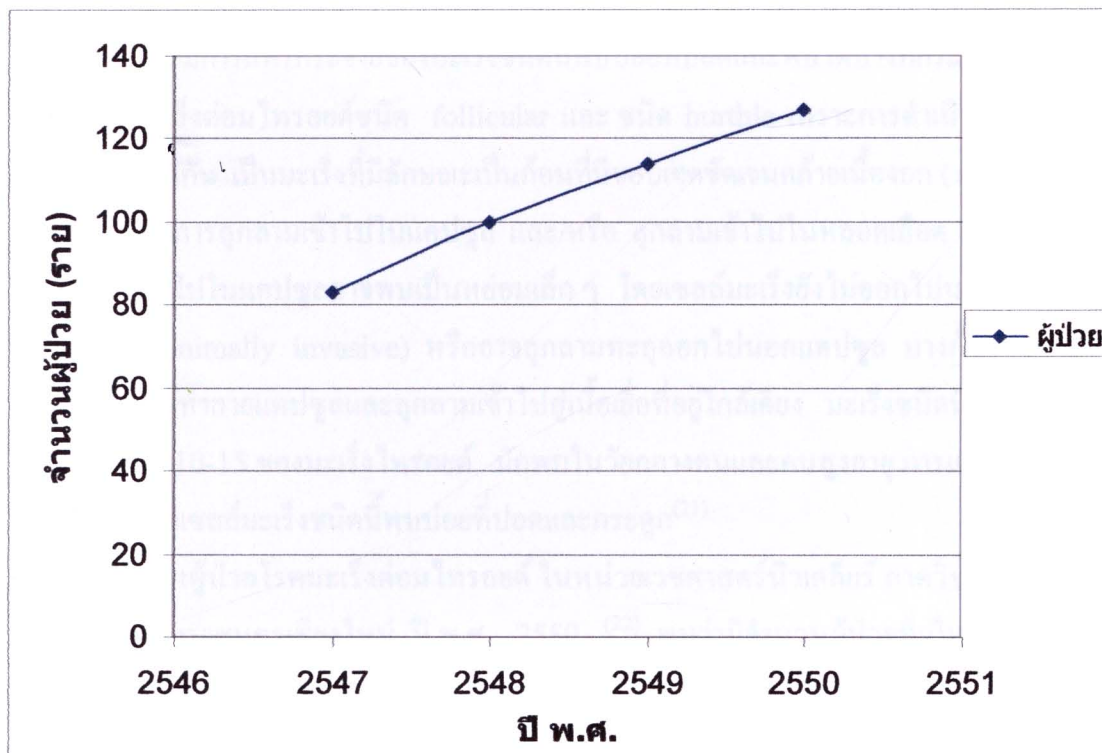
(<sup>17</sup>) ດັ່ງຮູບ 2.7



ຮູບ 2.7 ແກນຄວນຄຸມການຫຼັ່ງໄກຮິຍົດທີ່ອາຣ໌ເອ່າ ປະກອບດ້ວຍ ຢອ່າງໂນນທີ່ອາຣ໌ເອ່າ ຈາກໄກໂປກລາມສ ຢອ່າງໂນນທີ່ອາຣ໌ເອ່າ ຈາກຕ່ອນໄດ້ສ່ວນທຳນໍາ ແລະ ຮະດັບຮອ່າງໂນນທີ່ 3 ຫຼື 4 ໃນເລືອດ ທີ່ສ່ວນທຳນໍາໄກຮິຍົດໄກໂປກລາມສ ສ່ວນທຳນໍາໄກຮິຍົດທີ່ອາຣ໌ເອ່າ ແລ້ວ ພົມວ່າ ([http://www.il.mahidol.ac.th/e-media/hormone/chapter4/thyroid\\_control.htm](http://www.il.mahidol.ac.th/e-media/hormone/chapter4/thyroid_control.htm), 2010 )

### 2.3 โรคมะเร็งต่อมไทรอยด์ (thyroid carcinoma)

โรคมะเร็งต่อมไทรอยด์ในประเทศไทย พบร่วมกันเนื่องเพิ่มขึ้นตั้งแต่ปี พ.ศ. 2547 เป็นต้นมา จากการศึกษาสถิติโรคมะเร็งปี พ.ศ. 2550 ของโรงพยาบาลราษฎร์เชียงใหม่ พบร่วม โรคมะเร็งต่อมไทรอยด์จัดอยู่ในอันดับ 8 ของโรคมะเร็งที่เข้ารับการรักษาในโรงพยาบาลนี้<sup>(1,2,3,4)</sup> และมีแนวโน้มเพิ่มขึ้น ดังแสดงในรูป 2.8



รูป 2.8 สถิติผู้ป่วยโรคมะเร็งต่อมไทรอยด์ของโรงพยาบาลราษฎร์เชียงใหม่ 4 ปีข้อนหลัง (พ.ศ. 2547 – 2550)

#### 2.3.1 พยาธิวิทยาของโรคมะเร็งต่อมไทรอยด์

โรคมะเร็งต่อมไทรอยด์มีกำเนิดมาจากการผิดปกติของเซลล์เยื่อบุผิว (epithelial cell) ส่องชนิด คือ ฟอลลิคูลาเซลล์ (follicular cell) และพาราฟอลลิคูลาเซลล์ (parafollicular cell) หรือ ซีเซลล์ (C-cell)

มะเร็งที่เกิดจาก ฟอลลิคูลาเซลล์ (follicular cell) ประกอบด้วย 2 กลุ่ม คือ

### 1. ชนิด well differentiated cell ได้แก่

- มะเร็งต่อมไทรอยด์ชนิด papillary เป็นมะเร็งที่มีลักษณะเป็นก้อน มีรูปร่างและขนาดต่าง ๆ กัน มากกว่าร้อยละ 80 ของมะเร็งชนิดนี้พบมากกว่า 1 ก้อน (multifoci) ผิวรอบนอกขุรุระ เนื่องจากมีการลุกลามของเซลล์มะเร็งออกไปนอกแคปซูล เซลล์มะเร็งมีขนาดใหญ่กว่าเซลล์ปกติ มะเร็งชนิดนี้พบได้ร้อยละ 70-80 ของมะเร็งต่อมไทรอยด์ในประเทศไทยและอเมริกา พบร้าทุกอายุและก้อนมะเร็งโตช้า ก้อนมะเร็งชนิดนี้สามารถลุกลามไปที่ต่อมน้ำเหลืองบริเวณคอโดยพบประมาณ ร้อยละ 50 และมีการแพร่กระจายของมะเร็งชนิดนี้พบบ่อยที่ปอดและพบได้บ้างที่กระดูก
- มะเร็งต่อมไทรอยด์ชนิด follicular และ ชนิด hurthle เพราะการดำเนินโรคคล้ายคลึงกัน เป็นมะเร็งที่มีลักษณะเป็นก้อนที่มีขอบเขตชัดเจนคล้ายเนื้องอก (adenoma) พนการลุกลามเข้าไปในแคปซูล และ/หรือ ลุกลามเข้าไปในหลอดเลือด การลุกลามเข้าไปในแคปซูลอาจพบเป็นหยอดเล็ก ๆ โดยเซลล์มะเร็งยังไม่ออกไปนอกแคปซูล (minimally invasive) หรืออาจลุกลามทะลุออกไปนอกแคปซูล บางก้อนอาจพบการทำลายแคปซูลและลุกลามเข้าไปสู่เนื้อเยื่อที่อยู่ใกล้เคียง มะเร็งชนิดนี้พบได้ร้อยละ 10-15 ของมะเร็งไทรอยด์ มักพบในวัยกลางคนและคนสูงอายุ การแพร่กระจายของเซลล์มะเร็งชนิดนี้พบบ่อยที่ปอดและกระดูก<sup>(21)</sup>

สถิติของผู้ป่วยโรคมะเร็งต่อมไทรอยด์ ในหน่วยเวชศาสตร์นิวเคลียร์ ภาควิชารังสีวิทยา โรงพยาบาลรามาธิบดีกรุงเทพฯ ปี พ.ศ. 2550<sup>(22)</sup> พบว่ามีจำนวนผู้ป่วยที่เป็นมะเร็งต่อมไทรอยด์ชนิด papillary ร้อยละ 80 ชนิด follicular ร้อยละ 20 และมีการแพร่กระจายของเซลล์มะเร็งไปที่ปอดและกระดูกมากที่สุดที่ร้อยละ 3.53 ดังตาราง 2.1

เนื่องจากมะเร็งต่อมไทรอยด์ชนิด well differentiated cell เป็นเซลล์ชนิดฟอลลิคูลาร์ ซึ่งมีการสร้างคอลloid (colloid) ได้ดี และสามารถดักจับสารไอโอดีนในกระแสเลือดไปใช้เป็นส่วนประกอบในการสังเคราะห์ไทรอยด์ฮอร์โมน ดังนั้นมีอนาคตการรังสีไอโอดีน-131 มาประยุกต์ในการรักษาโรคมะเร็งต่อมไทรอยด์ จะทำให้เซลล์มะเร็งต่อมไทรอยด์จับกับสารรังสีไอโอดีน-131 โดยตรง ส่งผลให้เซลล์มะเร็งถูกทำลาย

2. ชนิด undifferentiated cell ได้แก่ มะเร็งต่อมไทรอยด์ชนิด anaplastic มะเร็งชนิดนี้พบได้น้อยกว่าร้อยละ 5 ของมะเร็งต่อมไทรอยด์ เป็นชนิดที่มีความรุนแรงมากที่สุด เติบโตเร็วมากและมีการลุกลามไปยังเนื้อเยื่อใกล้เคียง เป็นเซลล์ชนิดที่ไม่จับสารไอโอดีนดังนั้นจึงไม่ตอบสนองต่อการรักษาด้วยสารรังสีไอโอดีน-131

มะเร็งที่เกิดจากพาราฟอลลิคูลาเซลล์ (parafollicular cell) ได้แก่ มะเร็งต่อมไทรอยด์ชนิด เมดคูลารี (medullary thyroid carcinoma) พบร้อยละ 5 - 10 ของมะเร็งต่อมไทรอยด์พบได้ทุกวัย แต่พบในผู้ใหญ่มากกว่า และเป็นเซลล์ชนิดที่ไม่จับสารไอโอดีน

**ตาราง 2.1** สถิติจำนวนผู้ป่วยโรคมะเร็งต่อมไทรอยด์ของหน่วยเวชศาสตร์นิวเคลียร์ ภาควิชารังสีวิทยา คณะแพทยศาสตร์ มหาวิทยาลัยเชียงใหม่ พ.ศ. 2550 แยกตามชนิดของเซลล์และตำแหน่งที่เซลล์มะเร็งแพร่กระจายไป

| ชนิดของเซลล์มะเร็ง | จำนวน (คน) | ร้อยละ |
|--------------------|------------|--------|
| Papillary          | 68         | 80     |
| Follicular         | 17         | 20     |
| การแพร่กระจาย      |            |        |
| ปอด                | 3          | 3.53   |
| ปอดและกระดูก       | 1          | 1.18   |
| กระดูก             | 3          | 3.53   |

### 2.3.2 แนวทางในการรักษาโรคมะเร็งต่อมไทรอยด์

ปัจจุบันการรักษาผู้ป่วยโรคมะเร็งต่อมไทรอยด์ชนิด well differentiated cell มี 3 วิธีคือ การผ่าตัดต่อมไทรอยด์ (thyroidectomy) การรักษาด้วยยาโซร์โนนไทรอยด์ และการรักษาด้วยสารรังสีไอโอดีน-131<sup>(5)</sup> ซึ่งแนวทางการรักษาของแต่ละโรงพยาบาลอาจแตกต่างกัน เป็นไปตามเครื่องมือและวิธีการรักษาที่มี ซึ่งแพทย์จะเลือกวิธีการรักษาที่เหมาะสมสำหรับผู้ป่วยแต่ละราย

#### 2.3.2.1 การผ่าตัดต่อมไทรอยด์ (thyroidectomy)

การผ่าตัดต่อมไทรอยด์ เป็นวิธีการหลักในการรักษาโรคมะเร็งต่อมไทรอยด์ แต่เนื่องจากตำแหน่งของต่อมไทรอยด์มีความสัมพันธ์กับโครงสร้างต่าง ๆ คือต่อมพาราไทรอยด์ และเส้นประสาทต่าง ๆ ที่เกี่ยวข้องกับการเคลื่อนไหวของกล่องเสียงและคอหอย จึงต้องระมัดระวังในการผ่าตัดเป็นพิเศษ ผลข้างเคียงของการผ่าตัดอาจทำให้เกิดอาการเสียงแหบ (hoarseness) หรืออาการกลืนลำบาก (dysphagia) เนื่องจากเส้นประสาทในบริเวณต่อมไทรอยด์ได้รับความเสียหาย

บางส่วน การรักษาวิธินี้จึงต้องอาศัยแพทย์ที่เชี่ยวชาญในการผ่าตัด ซึ่งมีความเห็นที่แตกต่างกัน ของแพทย์ผู้เชี่ยวชาญในการรักษา ดังนี้

มะเร็งต่อมไทรอยด์ชนิด papillary ผู้ป่วยที่มีก้อนมะเร็งขนาดเล็กกว่า 1.5 ซม. จัดเป็นกลุ่มที่มีความเสี่ยงต่ำ แต่ยังมีความเห็นแตกต่างกันว่าควรผ่าตัดต่อมไทรอยด์ออกมากน้อยแค่ไหน และมีรายงานอุบัติการณ์การเกิดมะเร็งซ้ำสูงกว่าในผู้ป่วยที่ได้รับการผ่าตัดเฉพาะก้อนมะเร็งเทียบ กับผู้ป่วยที่ได้รับการผ่าตัดต่อมไทรอยด์ออกทั้งกลีบ ส่วนผู้ป่วยที่อยู่ในกลุ่มความเสี่ยงสูง เช่น มะเร็งลูกคามออกไปนอกแคปซูล มีมะเร็งในต่อมไทรอยด์ทั้ง 2 กลีบ หรือมีการแพร่กระจายของมะเร็ง เป็นต้น มีความเห็นว่าการทำการทำผ่าตัดต่อมไทรอยด์ออกให้หมด (total thyroidectomy) หรือเกือบหมด (near total thyroidectomy) แล้วให้การรักษาต่อด้วยสารรังสีไอโอดีน-131

มะเร็งต่อมไทรอยด์ชนิด follicular ถ้ามีการลูกคามไปที่แคปซูลเพียงเล็กน้อยก็ให้ทำการผ่าตัดต่อมไทรอยด์ออกเพียงกลีบเดียว แต่บางคนก็ทำการผ่าตัดต่อมไทรอยด์ออกหมดหรือให้สารรังสีไอโอดีน-131 กำจัดต่อมไทรอยด์ที่เหลือ ในกรณีที่การลูกคามเข้าไปในแคปซูลมาก และ/หรือ ลูกคามเข้าไปในหลอดเลือด หรือจัดเป็นกลุ่มที่มีความเสี่ยงสูง ควรตัดต่อมไทรอยด์ออกให้หมด หรือเกือบหมดแล้วให้การรักษาต่อด้วยสารรังสีไอโอดีน-131

### 2.3.2.2 การรักษาด้วยชอร์โนนไทรอยด์

เป็นการให้ชอร์โนนไทรอยด์แก่ผู้ป่วยภายหลังจากที่ได้รับการผ่าตัดต่อมไทรอยด์และรักษาด้วยสารรังสีไอโอดีน-131 โดยผู้ป่วยจะต้องได้รับชอร์โนนไทรอยด์ตลอดชีวิต เนื่องจากต่อมไทรอยด์ถูกทำลายไป ร่างกายไม่สามารถสร้างชอร์โนนไทรอยด์ได้จึงต้องให้ชอร์โนนไทรอยด์ทดแทนในส่วนที่ขาดหายไป โดยผู้ป่วยกลุ่มนี้มีความเสี่ยงต่ำที่ได้รับการผ่าตัดต่อมไทรอยด์แล้วอาจให้การรักษาด้วยชอร์โนนไทรอยด์อย่างเดียว สำหรับกลุ่มผู้ป่วยที่มีความเสี่ยงสูง ภายหลังที่ได้รับการผ่าตัดต่อมไทรอยด์และรักษาด้วยสารรังสีไอโอดีน-131 แล้วต้องให้ชอร์โนนไทรอยด์ในขนาดสูงต่อไป

### 2.3.2.3 การรักษาด้วยสารรังสีไอโอดีน-131

การรักษาด้วยสารรังสีไอโอดีน-131 มีวัตถุประสงค์ 2 ประการ คือ

- 1) กำจัดต่อมไทรอยด์ที่เหลือจากการผ่าตัด (thyroid remnant ablation) โดยเหตุผลในการกำจัดต่อมไทรอยด์ที่เหลือคือ

- เนื้อไทรอยด์ที่เหลืออาจมีเซลล์มะเร็งหลงเหลืออยู่
- เนื้อไทรอยด์ปกติที่เหลือจับสารรังสีไอโอดีน-131 ได้มากกว่ามะเร็งต่อมไทรอยด์ ทำให้ผลการรักษาไม่ดีเท่าที่ควร

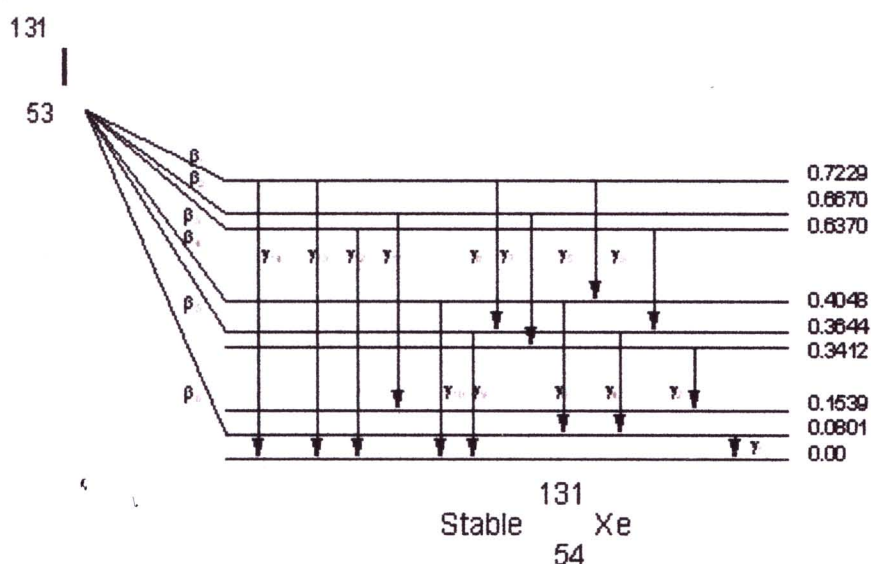
- เนื่อไตรอยด์ปกติที่เหลืออาจสังเคราะห์มอนไตรอยด์มากพอที่จะก่อการหลั่ง ที่ เอสโซช ทำให้การตรวจและรักษาด้วยสารรังสีไอโอดีน-131 ได้ผลไม่ดีเท่าที่ควร เพราะวิธีการรักษาต้องให้ผู้ป่วยอยู่ในภาวะขาดออกซิเจน ไตรอยด์ มีค่าที่เอสโซช สูง เพื่อกระตุ้นให้มะเร็งของต่อมไตรอยด์จับสารรังสีไอโอดีน-131 ได้มากขึ้น
- 2) รักษามะเร็งต่อมไตรอยด์ที่ลุกลามไปที่ต่อมน้ำเหลืองหรือเนื้อเยื่อข้างเคียง มะเร็งที่แพร่กระจายไปไกล มะเร็งที่เกิดข้าม และมะเร็งที่ทำการผ่าตัดไม่ได้

## 2.4 การรักษาผู้ป่วยโรคมะเร็งต่อมไตรอยด์ด้วยสารรังสีไอโอดีน-131

ปัจจุบันการรักษาผู้ป่วยโรคมะเร็งต่อมไตรอยด์ด้วยสารรังสีไอโอดีน-131 เป็นที่นิยม แพร่หลายมากขึ้น เนื่องจากมีการศึกษาอย่างต่อเนื่องจนเป็นที่แน่ชัดว่าสารรังสีไอโอดีน-131 สามารถรักษาโรคมะเร็งต่อมไตรอยด์ได้ผลดี

### 2.4.1 คุณลักษณะของสารรังสีไอโอดีน-131

สารรังสีไอโอดีน-131 (I-131) มีเลขมวล 131 และเลขอะตอม 53 มีค่าครึ่งชีวิต 8.02 วัน ถ่ายตัวให้รังสีบีตาเร็ยลส์ 90 และรังสีแกมนาร์อยลส์ 10 ด้วยพลังงานหลายค่า พลังงาน หลังการถ่ายตัวไอโอดีน-131 จะถ่ายเป็นกั๊ซชีน่อน (Xe-131) ซึ่งอยู่ในภาวะเสถียร รังสีบีตาที่ได้มีพลังงานสูงสุดอยู่ที่ 0.610 เมกกะอิเล็กตรอนโวลท์ (MeV) มีค่าพลังงานเฉลี่ยอยู่ที่ 0.191 เมกกะอิเล็กตรอนโวลท์ พลังงานของรังสีบีตาจะถูกคุกคักในเนื้อเยื่อที่มีการสะสมของสารรังสีไอโอดีนทั้งหมดในระดับ 0.8 มิลลิเมตร ทำให้เซลล์มะเร็งในต่อมไตรอยด์และเซลล์ไตรอยด์ปกติที่มีการสะสมของสารรังสีไอโอดีนถูกทำลายทั้งหมด รังสีแกมนาร์ของสารรังสีไอโอดีน-131 มีหลากหลายพลังงานเช่นกัน พลังงานสูงสุดอยู่ที่ 0.637 เมกกะอิเล็กตรอนโวลท์ และที่พลังงาน 0.364 เมกกะอิเล็กตรอนโวลท์ เกินมากที่สุดถึงร้อยละ 81<sup>(5,23,24)</sup> การถ่ายตัวของสารรังสีไอโอดีน-131 แสดงในรูป 2.9



รูป 2.9 การถ่ายตัวของสารรังสีไอโอดีน- 131 ให้รังสีบีตาและรังสีแคมนาหาภัยพลังงานเพื่อกลายเป็นธาตุเสธีร ชีนอน-131 (แหล่งที่มา; [http://www.meddean.luc.edu/lumen/MedEd/Radio/Nuc\\_med/radpharm/sect-b1.htm](http://www.meddean.luc.edu/lumen/MedEd/Radio/Nuc_med/radpharm/sect-b1.htm) )

#### 2.4.2 การกำหนดปริมาณสารรังสีไอโอดีน-131 ในการรักษาโรคนะเริงต่อมไทรอยด์

ผลของการรักษาผู้ป่วยโรคมะเร็งต่อมไทรอยด์ด้วยสารรังสีไอโอดีน-131 ขึ้นอยู่กับปริมาณสารรังสีไอโอดีน-131 ที่ผู้ป่วยได้รับและปัจจัยต่าง ๆ ได้แก่ เพศ อายุ ชนิดของเซลล์มะเร็ง ความรุนแรงของโรค ปริมาณรังสีที่เซลล์มะเร็งคุกคัก การกระจายของสารรังสีไอโอดีนในอวัยวะที่มีเซลล์มะเร็งต่อมไทรอยด์ ความไวต่อรังสีของเซลล์มะเร็ง และการขัดสารรังสีไอโอดีน-131 ออกจากอวัยวะที่มีการสะสมของสารรังสีในผู้ป่วยแต่ละราย ปัจจัยเหล่านี้เป็นสิ่งที่ต้องคำนึงถึงในการวางแผนรักษาด้วยสารรังสีไอโอดีน-131

การกำหนดปริมาณสารรังสีไอโอดีน-131 เพื่อรักษาผู้ป่วยโรคมะเร็งต่อมไทรอยด์ ทำได้ 3 วิธี คือ<sup>(5)</sup>

- 1) การคำนวณปริมาณรังสี (quantitative dosimetry method)
- 2) การกำหนดให้ปริมาณรังสีสูงสุดที่กำจัดมะเร็งได้และหลีกเลี่ยงการเกิดผลข้างเคียงที่ร้ายแรง (maximum safe dose)
- 3) การกำหนดปริมาณรังสีมาตรฐานคงที่ (standard fixed dose method)

ซึ่งแต่ละวิธีมีรายละเอียดดังต่อไปนี้

### 1) การคำนวณปริมาณรังสี (quantitative dosimetry method)

วิธีนี้เป็นการคำนวณปริมาณสารรังสีไอโอดีน-131 ที่จะให้ผู้ป่วยแต่ละราย แพทย์เป็นผู้กำหนดปริมาณรังสีคุณลักษณะที่ก้อนมะเร็งได้รับให้เพียงพอที่จะทำให้การรักษาได้ผลดี โดยคำนึงถึงขนาดของก้อนมะเร็ง การคงค้างและความสามารถในการกำจัดสารรังสีไอโอดีน-131 ในก้อนมะเร็ง ซึ่งวิธีนี้แม่จะยุ่งยากและใช้เวลานาน แต่ทำให้ผู้ป่วยได้รับปริมาณรังสีที่เหมาะสมมาก

### 2) การกำหนดให้ปริมาณรังสีสูงสุดที่กำจัดมะเร็งได้และหลีกเลี่ยงการเกิดผลข้างเคียงที่ร้ายแรง (maximum safe dose)

เป็นการกำหนดปริมาณสารรังสีไอโอดีน-131 จากการเจาะเลือดและเก็บปัสสาวะผู้ป่วยในแต่ละช่วงเวลาเพื่อนำมาคำนวณหาปริมาณสารรังสีไอโอดีน-131 ในกระแสเลือดและปริมาณรังสีที่คงค้างในร่างกาย แล้วนำไปคำนวณหาปริมาณสารรังสีไอโอดีน-131 ให้กับผู้ป่วย โดยตั้งข้อจำกัดปริมาณรังสีที่ผู้ป่วยได้รับ จะต้องไม่ทำให้ปริมาณรังสีคุณลักษณะในกระแสเลือดเกิน 2 เกรย์ และในเนื้อเยื่อปอดไม่เกิน 30 เกรย์ เพื่อป้องกันการเกิดการกดไอกกระดูก (bone marrow suppression) เนื้อเยื่อปอดอักเสบ (pneumonitis) และแพลงเป็นที่ปอด (pulmonary fibrosis) ได้

### 3) การกำหนดปริมาณรังสีมาตรฐานคงที่ (standard fixed dose method)

เป็นการให้ปริมาณสารรังสีไอโอดีน-131 ในขนาดคงที่ โดยไม่คำนึงถึงความแตกต่างทางสรีรวิทยาของผู้ป่วยแต่ละราย เป็นวิธีที่ใช้กันมากที่สุดเนื่องจากเป็นวิธีที่ง่าย ไม่เสียเวลาในการคำนวณปริมาณรังสี และเสียค่าใช้จ่ายน้อย แต่ยังไหรก็ตามสิ่งที่ควรระวังในการให้ด้วยวิธีนี้ คือ การให้การรักษาในผู้ป่วยที่มีการทำงานของอวัยวะในร่างกายผิดปกติที่อาจทำให้ผลการรักษาไม่เป็นไปตามความต้องการ

แนวทางในการให้ปริมาณสารรังสีไอโอดีน-131 แก่ผู้ป่วย ในการรักษาโรคมะเร็งต่อมไทรอยด์โดยวิธีการกำหนดปริมาณรังสีมาตรฐานคงที่ ในแต่ละสถานบันอาจมีความแตกต่างกันบ้าง เนื่องจาก หน่วยเวชศาสตร์นิวเคลียร์ ภาควิชารังสีวิทยา โรงพยาบาลราชนาครเชียงใหม่ มีการให้ปริมาณสารรังสีไอโอดีน-131 แก่ผู้ป่วย เพื่อรักษาโรคมะเร็งต่อมไทรอยด์โดยวิธีการกำหนดปริมาณรังสีมาตรฐานคงที่ ดังนี้

1. 30 – 150 มิลลิคูรี (mCi) สำหรับกำจัดต่อมไทรอยด์ที่เหลือจากการผ่าตัด
2. 150 มิลลิคูรี สำหรับมะเร็งต่อมไทรอยด์ที่ลุกลามไปต่อมน้ำเหลือง
3. 100-150 มิลลิคูรี สำหรับมะเร็งต่อมไทรอยด์ที่แพร่กระจายไปปอด
4. 150-200 มิลลิคูรี สำหรับมะเร็งต่อมไทรอยด์ที่แพร่กระจายไปกระดูก
5. ปริมาณรังสีสะสมทั้งหมดไม่เกิน 1000 มิลลิคูรี



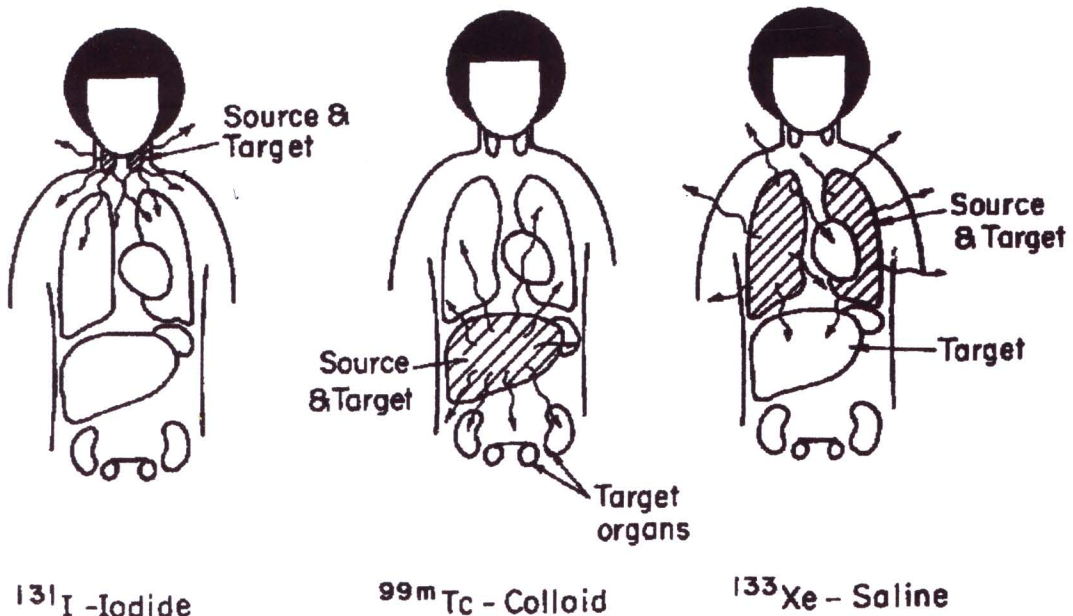
## 2.5 การคำนวณปริมาณรังสีภายในร่างกาย (internal radiation dosimetry )

การใช้กัมมันตภาพรังสีเพื่อการตรวจวินิจฉัยและรักษาโรคในงานเวชศาสตร์นิวเคลียร์ ส่วนใหญ่เป็นการใช้กัมมันตภาพรังสีในรูปของสารเภสัชรังสี (radiopharmaceuticals) โดยนำเข้าสู่ร่างกายผู้ป่วย สารเภสัชรังสีเมื่อเข้าสู่ร่างกายจะกระจายตัวและสะสมในอวัยวะต่าง ๆ ตามคุณสมบัติของสารเภสัชรังสีนั้น ๆ อวัยวะที่มีการสะสมสารเภสัชรังสีจะสามารถแผ่รังสีออกไปยังอวัยวะอื่น ๆ ได้ ทำให้เนื้อเยื่อของอวัยวะภายในได้รับพลังงานรังสีมากน้อยเท่าใดจะขึ้นอยู่กับปริมาณพลังงานรังสีที่เนื้อเยื่อคูดกลืนไว จึงต้องมีการการคำนวณปริมาณรังสีในร่างกาย เพื่อประเมินพลังงานรังสีที่ให้เข้าสู่ร่างกายว่าเป็นไปตามวัตถุประสงค์ของการใช้งานหรือไม่ เมื่อต้องการใช้รังสีเพื่อการรักษาโรค ต้องมีการคำนวณปริมาณรังสีคูดกลืนเพื่อกำหนดปริมาณกัมมันตภาพรังสีที่จะให้แก่ผู้ป่วย (administered dose) สามารถทำให้เกิดผลของรังสีต่ออวัยวะที่ต้องการรักษาเพียงพอที่จะทำให้ผู้ป่วยหายจากโรค หรือสามารถควบคุมโรคไว้ได้ ส่วนการใช้กัมมันตภาพรังสีเพื่อการตรวจวินิจฉัยโรค การคำนวณปริมาณรังสีจะช่วยประเมินความเสี่ยงของการใช้รังสีต่อผู้ป่วย

การคำนวณปริมาณรังสีคูดกลืน เป็นการคำนวณปริมาณพลังงานรังสีที่เนื้อเยื่อคูดกลืนต่อหนึ่งหน่วยมวลของเนื้อเยื่อ ใช้หลักการคำนวณโดยกำหนดให้อวัยวะที่มีการสะสมของสารเภสัชรังสีเป็นอวัยวะต้นกำเนิดรังสี (source organ; S) และอวัยวะที่ต้องการคำนวณปริมาณรังสีคูดกลืน (absorbed dose) เป็นอวัยวะเป้าหมาย (target organ; T) การคำนวณปริมาณรังสีแบบภายใน อาจมีอวัยวะต้นกำเนิดรังสีและอวัยวะเป้าหมายได้หลายอวัยวะ หรือ อวัยวะต้นกำเนิดรังสีและอวัยวะเป้าหมายอาจเป็นอวัยวะเดียวกันก็ได้ เช่น สารรังสีไอโอดีน-131 เมื่อเข้าสู่ร่างกายจะไปสะสมที่ต่อมไครอยด์ ดังนั้นต่อมไครอยด์จึงเป็นอวัยวะต้นกำเนิดรังสีส่วนอวัยวะข้างเคียงที่ได้รับรังสีจากต่อมไครอยด์ เช่น ปอด เป็นอวัยวะเป้าหมาย หรือตัวต่อมไครอยด์เป็นอวัยวะเป้าหมายได้เช่นกัน ในกรณีเทคนิซีม - 99 เอ้ม ติดสลากกับสาร colloidal (<sup>99m</sup>Tc-colloid) เมื่อเข้าสู่ร่างกายจะไปสะสมที่ตับ ดังนั้นตับจึงเป็นอวัยวะต้นกำเนิดรังสี ส่วนอวัยวะข้างเคียงที่ได้รับพลังงานรังสีจากตับ เช่น ปอด หัวใจ ไต จัดเป็นอวัยวะเป้าหมาย ดังรูป 2.10

วิธีการคำนวณการคำนวณปริมาณรังสีคูดกลืนภายในร่างกายจากการใช้สารเภสัชรังสี มี 2 วิธี คือ วิธีพื้นฐาน (classical method) ซึ่งนำเสนอโดย The International Commission on Radiological Protection ; ICRP เพื่อใช้เป็นการประเมินความเสี่ยงในการป้องกันอันตรายจากรังสี วิธีที่สองคือวิธีคำนวณการคูดกลืนพลังงานแบบแบ่งส่วน (absorbed fraction method) หรือ MIRD ซึ่งย่อจาก medical internal radiation dosimetry วิธีนี้เป็นการศึกษาเพื่อนำมาใช้เฉพาะทางการแพทย์ของสมาคมเวชศาสตร์นิวเคลียร์ ประเทศไทยรัฐอเมริกา ทั้งสองวิธีใช้หลักการคำนวณปริมาณปริมาณรังสีคูดกลืนภายในร่างกายเหมือนกัน แต่มีความแตกต่างกันใน

รายละเอียดของค่าตัวแปรที่ใช้ในการคำนวณ ทำให้ผลลัพธ์จากการคำนวณทั้งสองวิธีไม่แตกต่างกันมากนัก วิธีการของ MIRD จะมีวิธีการคำนวณที่ละเอียดกว่า มีความถูกต้องแม่นยำมากกว่า จึงเป็นที่นิยมใช้ในการคำนวณปริมาณรังสีภายในร่างกายในงานเวชศาสตร์นิวเคลียร์มากกว่า วิธีพื้นฐานของ ICRP<sup>(25,26)</sup>



รูป 2.10 แสดงอวัยวะต้นกำเนิดรังสี (source organ) และอวัยวะเป้าหมาย (target organ) จากการใช้สารเภสัชรังสี  $\text{I}-131$  ไอโอดายน์  $^{99\text{m}}\text{Tc}$  คอโลดอยด์ และ  $\text{Xe}-133$  ชาลายน์ (แหล่งที่มา: <http://www.bvsabr.be>)

### 2.5.1 การคำนวณปริมาณรังสีภายในด้วยวิธี MIRD

MIRD พัฒนาวิธีการคำนวณปริมาณรังสีภายในร่างกายมาอย่างต่อเนื่องตั้งแต่ปี พ.ศ.2519<sup>(27)</sup> จนถึงปัจจุบัน โดยเฉพาะการศึกษาทดลองหาข้อมูลการกระจายตัวของสารเภสัชรังสีชนิดต่าง ๆ ในหุ่นจำลองร่างกายปกติของมนุษย์ เพศหญิง-ชาย ในช่วงวัยต่าง ๆ ตั้งแต่ทารกในครรภ์จนถึงผู้ใหญ่ และได้สร้างฐานข้อมูลสำหรับการคำนวณรวมถึงโปรแกรมคอมพิวเตอร์คำนวณปริมาณรังสีแบบภายใน เพื่อเพิ่มประสิทธิภาพความถูกต้อง แม่นยำ และสะดวกรวดเร็ว โดยใช้หลักการคำนวณ ดังนี้<sup>(28)</sup>

$$\overline{D}_{(T)} = \tilde{A}_{(S)} S_{(T \leftarrow S)} \quad (2.1)$$

- เมื่อ  $\bar{D}_{(T)}$  = ปริมาณรังสีคุณลักษณะในอวัยวะเป้าหมาย มีหน่วยเป็นเกรย์ (Gy)  
 $\tilde{A}_{(S)}$  = cumulated activity ในอวัยวะต้นกำเนิดรังสี มีหน่วยเป็นคูรี-ชั่วโมง  
 หรือ เบคเคอเรล - วินาที (Ci-hr or Bq-s)  
 $S_{(T \leftarrow S)}$  = the mean dose per unit cumulated activity ที่ได้จากการรวม  
 พลังงานรังสีของอวัยวะต้นกำเนิดรังสีที่อวัยวะเป้าหมายคุณลักษณะไว้ต่อ  
 มวลของอวัยวะนั้น มีหน่วยเป็นเซนติเกรย์ต่อคูรี-ชั่วโมงหรือเกรย์ต่อเบค  
 เคโคเรล – วินาที (cGy/Ci-hr or Gy/Bq-s )

ขั้นตอนการคำนวณปริมาณรังสีแบบ MIRD มี 3 ขั้นตอนคือ

1. ขั้นตอนการหาค่า cumulated activity ;  $\tilde{A}_{(S)}$  โดยหาได้จากการอินทิเกรต (integrate) ค่ากัมมันตภาพรังสี ที่เข้าสู่อวัยวะต้นกำเนิดรังสี ตั้งแต่เวลาเริ่มต้นหรือศูนย์วินาทีไปจนกระทั่ง ปริมาณรังสีนั้นหมดไปจากอวัยวะต้นกำเนิดรังสีที่เวลาอนันต์ ( $\infty$ ) ซึ่งสามารถคำนวณได้ดังนี้

$$\tilde{A}_{(S)} = \int_0^{\infty} A_{(t)} dt \quad (2.2)$$

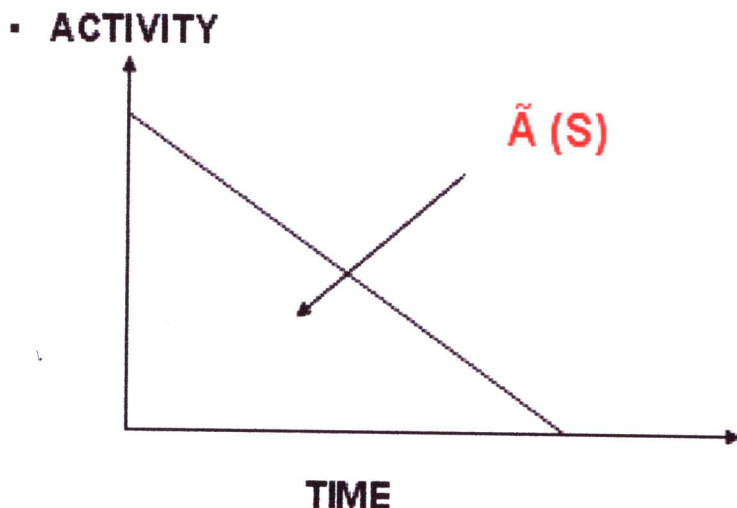
- เมื่อ  $A_{(t)}$  = ค่ากัมมันตภาพรังสีที่วัดได้ ณ เวลาหนึ่ง  
 $dt$  = เวลาที่วัด

เมื่อนำมาสร้างกราฟแสดงความสัมพันธ์ระหว่างกัมมันตภาพรังสีและเวลาจะได้เส้นกราฟ ที่เรียกว่า “ไทม์-แอคทิวิตี้” (time activity curve) ซึ่งค่า  $\tilde{A}_{(S)}$  จะเท่ากับพื้นที่ใต้กราฟ ดังรูป 2.11 และค่ากัมมันตภาพรังสีที่วัด ณ เวลาใดเวลาหนึ่ง สามารถหาได้จากสมการ

$$A_{(t)} = A_0 e^{(-\lambda_{eff} t)} \quad (2.3)$$

- เมื่อ  $A_{(0)}$  = ค่ากัมมันตภาพรังสีที่วัดได้ที่เวลาศูนย์วินาที  
 $\lambda_{eff}$  = ค่าคงที่การสลายตัวยังผล (effective decay constant)  
 $t$  = เวลา

## TIME – ACTIVITY CURVE



รูป 2.11 กราฟแสดงความสัมพันธ์ระหว่างกันมันตภาพรังสีและเวลา (Stabin และคณะ, 2007)

เมื่อแทนค่า  $A(t)$  ในสมการ 2.2 จะได้ค่า  $\tilde{A}(S)$  เท่ากับ

$$\tilde{A}(S) = \frac{A_0}{\lambda_{eff}} \quad (2.4)$$

โดย  $\lambda_{eff}$  หาได้จากสมการ

$$\lambda_{eff} = \frac{\ln 2}{T_{eff}} \quad (2.5)$$

$T_{eff}$  คือ ค่าครึ่งชีวิตยังผล (effective half-life) ซึ่งสามารถหาได้จากสมการ

$$T_{eff} = \frac{T_p T_b}{T_p + T_b} \quad (2.6)$$

เมื่อ  $T_p$  = ค่าครึ่งชีวิตทางกายภาพของสารกัมมันตรังสี ( physical half - life)  
 $T_b$  = ค่าครึ่งชีวิตทางชีววิทยาของสารกัมมันตรังสี ( biological half - life)

เมื่อแทนค่า  $\lambda_{eff}$  ในสมการ 2.4 จะได้ค่า  $\tilde{A}_{(s)}$  เท่ากับ

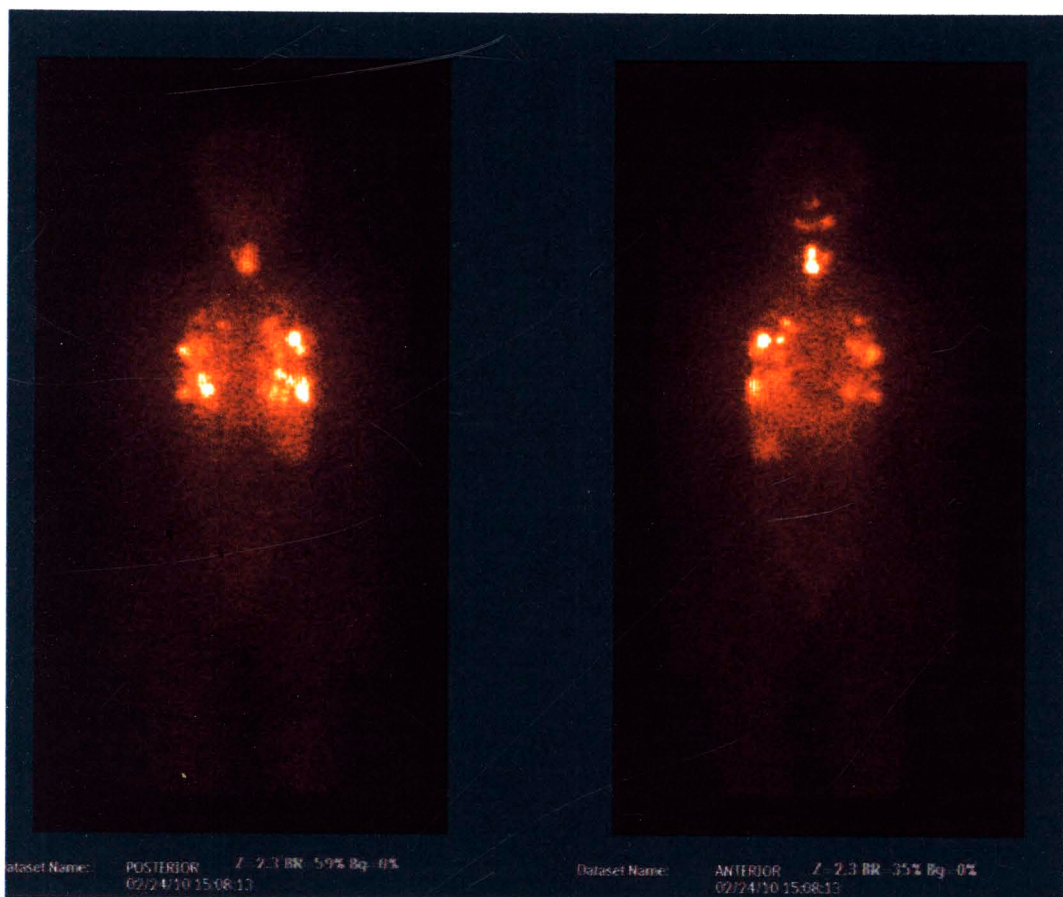
$$\tilde{A}_{(s)} = \frac{A_0 T_{eff}}{\ln 2} \quad (2.7)$$

ค่า  $\frac{1}{\ln 2} = 1.443$  แทนค่าลงในสมการ 2.7

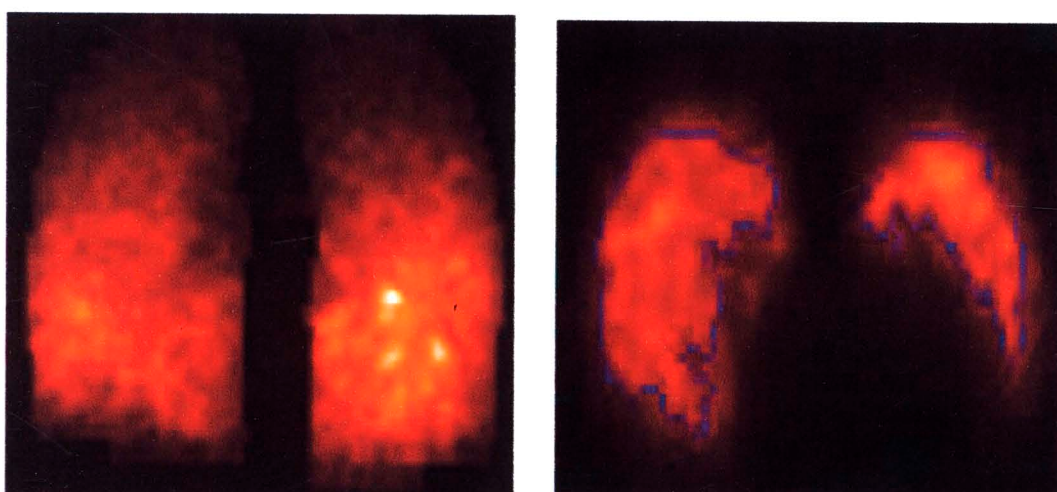
$$\tilde{A}_{(s)} = 1.443 T_{eff} A_0 \quad (2.8)$$

ค่า cumulated activity หาได้จากการวัดค่ากัมมันตภาพรังสีในร่างกายด้วยวิธีการดังต่อไปนี้

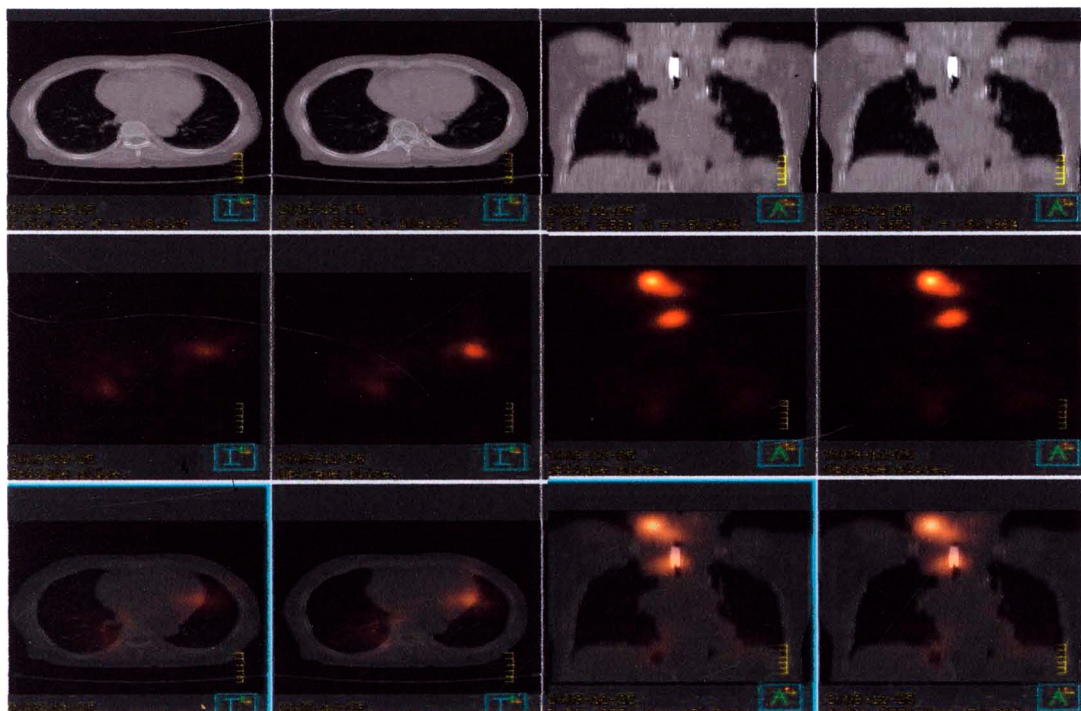
- 1.1 การวัดค่ากัมมันตภาพรังสีจากภายนอกร่างกาย
- 1.2 การวัดค่ากัมมันตภาพรังสีจากสิ่งที่ขับถ่ายออกจากร่างกาย ได้แก่ ปัสสาวะ อุจจาระ เหงื่อ หรือ ลมหายใจออก
- 1.3 การวัดค่ากัมมันตภาพรังสีจากเลือด หรือ ชิ้นเนื้อ
- 1.4 การวัดค่ากัมมันตภาพรังสีจากภาพสแกนสองมิติ (2D) ภาพเป็ก (SPECT) ภาพผสานระหว่างภาพเป็กกับภาพเอกซเรย์คอมพิวเตอร์ (SPECT-CT fusion image) ภาพเพ็ต (PET image) ดังตัวอย่างภาพในรูป 2.12 ถึงรูป 2.15



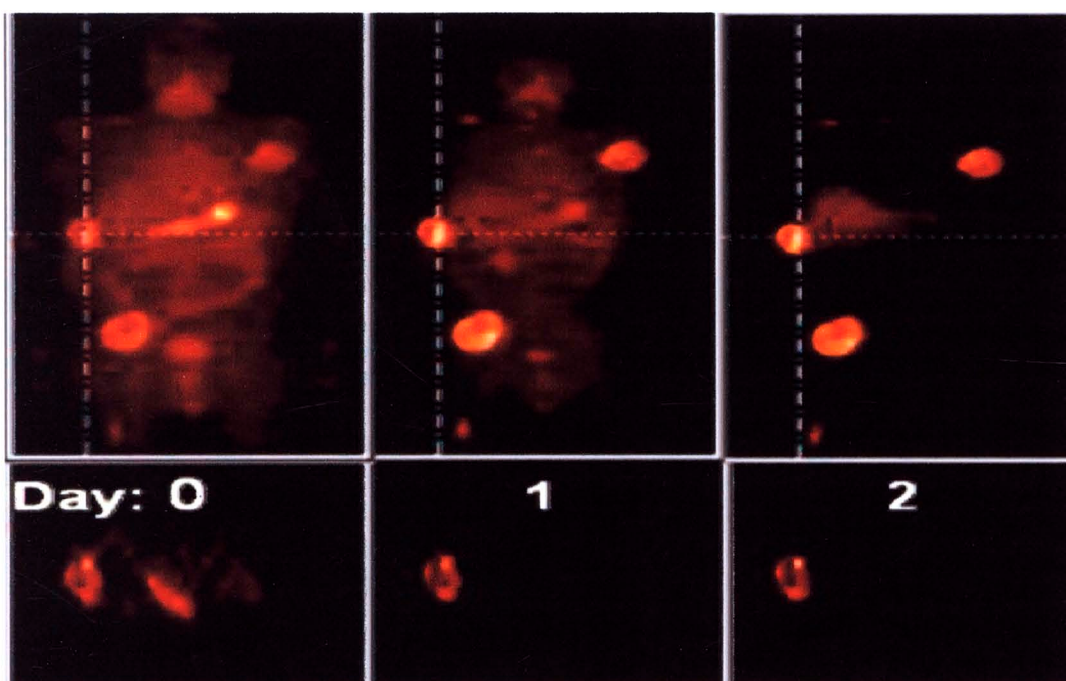
รูป 2.12 ภาพสแกนสองมิติด้านหน้าและด้านหลังแบบทั้งด้านของผู้ป่วยโรคมะเร็งต่อมไทรอยด์ที่มีการแพร่กระจายของเซลล์มะเร็งไปที่ปอด



รูป 2.13 ภาพสเปก (SPECT) ของปอด ( Song H. และคณะ ; 2006 )<sup>(14)</sup>



รูป 2.14 ภาพสเปก (SPECT) และภาพซีที ( CT ) ปอดของผู้ป่วยโรคมะเร็งต่อมไทรอยด์ที่มีการ  
แพร่กระจายของเซลล์มะเร็งไปที่ปอด ( แหล่งที่มา : หน่วยเวชศาสตร์นิวเคลียร์  
ภาควิชารังสีวิทยา มหาวิทยาลัยเชียงใหม่ ; 2552 )



รูป 2.15 ภาพเพ็ต (PET) ของก้อนมะเร็งในช่วงเวลาต่าง ๆ กัน (Flux G.และคณะ ; 2006)

### 1.4.1 การวัดค่ากัมมันตภาพรังสีจากภาพสแกนสองมิติ

#### (quantitative 2 dimensional scan images)

ภาพสแกนสองมิติ (2 dimensional ; 2D) หรือ ภาพระนาบ (planar) เป็นภาพสแกนหลังจากที่ผู้ป่วยได้รับสารกัมมันตรังสีเข้าสู่ร่างกายในช่วงเวลาหนึ่ง ซึ่งการหาค่าปริมาณกัมมันตภาพรังสีด้วยวิธีนี้ทำได้ด้วยการวัดริเวณที่ต้องการวัดกัมมันตภาพรังสี (region of interest ; ROI) บนภาพสแกนด้านหน้า (anterior view) และ ภาพสแกนด้านหลัง (posterior view) ซึ่งทำมุมกัน 180 องศา เรียกว่า conjugate view เพื่อนำค่านับวัดใน ROI ที่ได้มาคำนวณเปลี่ยนเป็นค่ากัมมันตภาพรังสี ดังสมการ<sup>(28)</sup>

$$A_j = \sqrt{\frac{I_A I_P}{e^{-\mu_e t}}} \frac{f_j}{C} \quad (2.9)$$

|       |         |   |   |
|-------|---------|---|---|
| เมื่อ | $A_j$   | = | ค่ากัมมันตภาพรังสีที่อวัยวะต้นกำเนิดรังสี (Bq or mCi)   |
|       | $I_A$   | = | ค่านับวัดที่ได้จากการพัรังสีด้านหน้า (counts/time)  |
|       | $I_P$   | = | ค่านับวัดที่ได้จากการพัรังสีด้านหลัง (counts/time)  |
|       | $\mu_e$ | = | สัมประสิทธิ์การทอนเชิงเส้น  |
|       | $t$     | = | ความนานของผู้ป่วย   |
|       | $C$     | = | ค่าปรับเทียบอัตราเร้นับวัดกัมมันตตรังสีต่อหน่วยความแรงรังสี (source calibration factor) มีหน่วยเป็น cps/Bq หรือ cpm/mCi |
|       | $f_j$   | = | ค่าแก้สำหรับสัมประสิทธิ์การทอนของอวัยวะต้นกำเนิดรังสี (source self attenuation coefficient)                             |

$f_j$  สามารถหาได้จากสมการ<sup>(28)</sup>

$$f_j = \frac{(\mu_j t_j / 2)}{\sinh(\mu_j t_j / 2)} \quad (2.10)$$

|       |         |   |  |
|-------|---------|---|--|
| เมื่อ | $\mu_j$ | = | ค่าสัมประสิทธิ์การทอนของอวัยวะต้นกำเนิดรังสี |
|       | $t_j$   | = | ความนานของอวัยวะต้นกำเนิดรังสี               |

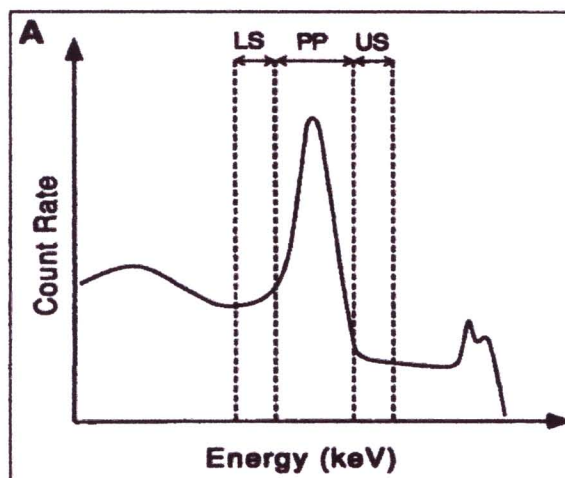
ซึ่งค่า  $f_j$  ถือว่าเป็นค่าที่มีผลต่อการคำนวณน้อยมากสามารถตัดทิ้งได้<sup>(29)</sup>

#### 1.4.1.1 ปัจจัยที่มีผลต่อการการหาค่าปริมาณกัมมันตภาพรังสีจากภาพสแกนสองมิติ

1. รังสีกระเจิง (scatter radiation) จากบริเวณใกล้เคียง ตามแนวคิดเชิงอุดมคติมักกำหนดให้ต้นกำเนิดรังสีมีลักษณะเป็นจุดเล็ก ๆ (point source) มีลักษณะลำรังสีเป็นลำแคบ ๆ ไม่มีรังสีกระเจิงเข้ามาในแหล่งกำเนิดรังสี แต่ในเวลาศาสตร์นิวเคลียร์ภาพสแกนที่ได้ คืออวัยวะหรือเนื้อเยื่อที่สะสมสารเกสรรังสี นักมีขนาดใหญ่ทำให้เกิดรังสีกระเจิง จำเป็นต้องมีการแก้ค่านับวัดรังสีกระเจิง ( $C_T$ ) สามารถหาได้จากค่านับวัดในหน้าต่างโฟโตพีค ( $C_{pp}$ ) ลบกับค่านับวัดบริเวณสองข้างของ หน้าต่างโฟโตพีค (photopeak) คือ ค่านับวัดของรังสีกระเจิงในหน้าต่างพลังงานต่ำ ( $C_{LS}$ ) และ ค่านับวัดของรังสีกระเจิงในหน้าต่างพลังงานสูง ( $C_{US}$ ) ดังสมการ

$$C_T = C_{pp} - (C_{LS} + C_{US}) \quad (2.11)$$

|       |          |   |   |
|-------|----------|---|---|
| เมื่อ | $C_T$    | = | ค่านับวัดที่แก้ค่าการกระเจิงรังสี             |
|       | $C_{pp}$ | = | ค่านับวัดในหน้าต่างโฟโตพีค                    |
|       | $C_{LS}$ | = | ค่านับวัดของรังสีกระเจิงในหน้าต่าง พลังงานต่ำ |
|       | $C_{US}$ | = | ค่านับวัดของรังสีกระเจิงในหน้าต่างพลังงานสูง  |



รูป 2.16 แสดงความสัมพันธ์ระหว่างพลังงานและอัตราค่านับวัดที่ใช้แก้ค่ารังสีกระเจิง

โดยที่พื้นที่ของรังสีกระเจิงในหน้าต่างพลังงานทั้งสองข้างนั้นจะเท่ากันกับพื้นที่ของหน้าต่างพลังงานโฟโตพีค แต่ถ้าไม่เท่ากันจะต้องคูณค่าปัจจัยในการปรับขนาด (scaling factor ;  $F_S$ ) ซึ่งค่า  $F_S$  โดยทั่วไปจะมีค่าเท่ากับ 1/2 ดังสมการ

$$C_T = C_{PP} - F_S (C_{LS} + C_{US}) \quad (2.12)$$

**2. ค่ากัมมันตภาพรังสีพื้นหลัง (background activity)** ค่านับวัตถุภายใน ROI บางครั้งอาจเป็นผลรวมของค่านับวัตถุใน ROI ของอวัยวะต้นกำเนิดรังสี กับค่านับวัตถุที่มาจากการปริมาณกัมมันตภาพรังสีในอวัยวะใกล้เคียง หรือรังสีกระเจิง (scatter radiation) หรือ รังสีพื้นหลัง (background radiation) ดังนี้จะเป็นต้องทำการวัด ROI ของพื้นหลัง โดยวัดเป็นรูปลักษณะตัวซี (C) ในตำแหน่ง ด้านบนหรือด้านล่างใกล้ ๆ กับ ROI ของอวัยวะต้นกำเนิดรังสี ซึ่งเป็นตำแหน่งที่เหมาะสมที่สุด แล้วนำค่านับวัตถุที่ได้มาลบจากค่านับวัตถุใน ROI ของอวัยวะต้นกำเนิดรังสี และไม่ควรวัด ROI ของพื้นหลังในบริเวณที่มีค่ากัมมันตภาพรังสีสูงๆ เช่น หลอดเลือด เพราะจะทำให้ค่านับวัตถุพื้นหลังที่ได้สูงเกินไป

**3. สัมประสิทธิ์การก่อเส้น (effective linear attenuation coefficient ;  $\mu_e$ )** เป็นค่าเฉพาะสำหรับผู้ป่วยแต่ละคน รังสีแต่ละชนิด เครื่องสแกนภาพแต่ละเครื่อง และคอลลิเมเตอร์ (collimator) แต่ละชนิด สามารถใช้การทำ transmission image ไปคำนวณหาค่า  $\mu_e$  ดังนี้

$$I = I_0 e^{-\mu_e x} \quad (2.13)$$

|       |       |   |
|-------|-------|---|
| เมื่อ | $I$   | = อัตราค่านับวัตถุหลังจากรังสีผ่านตัวผู้ป่วย มีหน่วยเป็น (counts/min) |
|       | $I_0$ | = อัตราค่านับวัตถุในอากาศมีหน่วยเป็น (counts/min)                     |
|       | $X$   | = ความหนาของผู้ป่วยที่รังสีผ่าน                                       |

**4. ค่าปรับเทียบอัตราค่านับวัตถุกัมมันตรังสีต่อหน่วยความแรงรังสี (source calibration factor; C)** เป็นค่าเฉพาะสำหรับ รังสีแต่ละชนิด เครื่องสแกนภาพแต่ละเครื่อง และคอลลิเมเตอร์ (collimator) แต่ละชนิด สามารถหาได้จากอัตราค่านับวัตถุต่อปริมาณกัมมันตภาพรังสี (cpm /MBq) ที่ได้จากภาพสแกนของ standard point source (SPD) ของสารกัมมันตรังสีชนิดเดียวกันกับที่ให้กับผู้ป่วย ในระบบที่ตำแหน่ง SPD ถึง คอลลิเมเตอร์ มีค่าประมาณกึ่งกลางของความหนาผู้ป่วยที่จะทำการสแกนภาพ

**2. ขั้นตอนการหาค่าปริมาณรังสีคุณลักษณะในอวัยวะเป้าหมายต่อหน่วยกัมมันตภาพรังสีในอวัยวะต้นกำเนิด หรือ ค่า  $S_{(T \leftarrow S)}$  เมื่อกำหนดให้  $E_i$  เป็นพลังงานของรังสีแต่ละชนิด ที่เกิดจากการถลายตัวของอะตอมรังสีในอวัยวะต้นกำเนิด มีหน่วยเป็น เมกะอิเล็กตรอนโวลต์ (MeV)**

และ  $y_i$  เป็นสัดส่วนของพลังงานรังสีแต่ละชนิดที่เกิดขึ้นในแต่ละครั้งของการสลายตัว โดยค่า  $E$ , และ  $y_i$  จะเป็นค่าจำเพาะของสารกัมมันตรังสีแต่ละชนิด สำหรับส่วนของปริมาณรังสีที่อวัยวะเป้าหมายคุณลักษณะพลังงานแต่ละชนิด ไว้ได้จะแทนค่าด้วยสัญลักษณ์  $\phi_{i(T \leftarrow S)}$  ซึ่งค่า  $\phi_{i(T \leftarrow S)}$  นี้จะมีความแปรปรวนสูง เพราะผันแปรตามปัจจัยดังต่อไปนี้

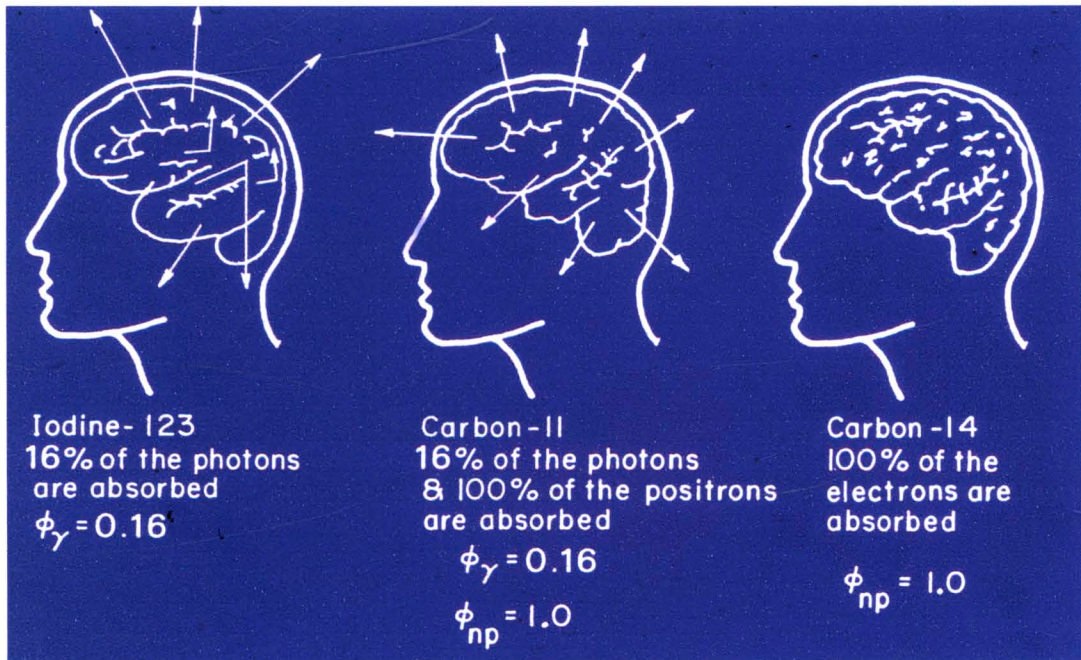
- 1) ขนาดของอวัยวะต้นกำเนิดรังสี
- 2) ขนาดของอวัยวะเป้าหมาย
- 3) ระยะทางระหว่างตำแหน่งของอวัยวะทั้งสอง
- 4) พลังงานของรังสีไฟฟ่อน
- 5) ค่าคุณสมบัติการลดthonความเข้มของรังสี (attenuation properties) ของเนื้อเยื่อที่อยู่ระหว่างอวัยวะต้นกำเนิดรังสีและอวัยวะเป้าหมาย

ในงานเวชศาสตร์นิวเคลียร์โดยทั่วไปจะถือว่ารังสีบีตาและอิเล็กตรอน ซึ่งขัดเป็นกลุ่ม non-penetrating radiation จะถูกคุณลักษณะในเนื้อเยื่อของอวัยวะต้นกำเนิดทั้งหมด แต่รังสีไฟฟ่อนหรือแกมมาซึ่งอยู่ในกลุ่ม penetrating radiation จะคุณลักษณะในอวัยวะต้นกำเนิดเพียงบางส่วนและมีบางส่วนแพร่รังสีไปยังอวัยวะอื่น ๆ ได้ ตัวอย่างเช่น สารรังสีไอโอดีน- 123 จะให้รังสีแกมมาพลังงาน 0.159 เมกกะอิเล็กตรอนโวลท์ สัดส่วนร้อยละ 83.3 ถูกคุณลักษณะไว้ในอวัยวะต้นกำเนิดร้อยละ 16 มีการแพร่รังสีแกมมาไปยังอวัยวะอื่นร้อยละ 84 สารรังสีคาร์บอน-11 จะให้รังสีไฟฟัสตรอนพลังงาน 0.386 เมกกะอิเล็กตรอนโวลท์ สัดส่วนร้อยละ 100 และรังสีแกมมาพลังงาน 0.511 เมกกะอิเล็กตรอนโวลท์ ร้อยละ 200 มีการคุณลักษณะรังสีไฟฟัสตรอนในอวัยวะต้นกำเนิดร้อยละ 100 และคุณลักษณะรังสีแกมมาร้อยละ 16 ดังรูป 2.17

เนื่องจากค่า  $\phi_{i(T \leftarrow S)}$  มีความผันแปรตามปัจจัยอย่างดังได้กล่าวไว้ข้างต้น จึงทำให้การคำนวณหาค่า  $\phi_{i(T \leftarrow S)}$  จำเป็นต้องใช้การทดลองในหุ่นจำลองร่างกายมนุษย์ร่วมกับการคำนวณด้วยวิธีมอนติคาโร โดย MIRD ได้พัฒนาหุ่นจำลองร่างกายมนุษย์ในช่วงวัยต่าง ๆ ได้แก่ หุ่นจำลองเด็กแรกเกิด เด็กอายุ 1 ปี 5 ปี 10 ปี 15 ปี หุ่นผู้ใหญ่ชาย หุ่นผู้ใหญ่หญิง และหุ่นหญิงตั้งครรภ์ และคำนวณค่า  $\phi_{i(T \leftarrow S)}$  ต่อมวลอวัยวะเป้าหมายของพลังงานรังสีขนาดต่าง ๆ ที่ใช้ในเวชศาสตร์นิวเคลียร์ โดยใช้สัญลักษณ์ “ $\Phi_{i(T \leftarrow S)}$ ” เรียกว่าค่า specific absorbed fraction; SAF ดังสมการ

$$\Phi_{i(T \leftarrow S)} = \frac{\phi_{(T \leftarrow S)}}{m_{(T)}} \quad (2.14)$$

เมื่อ  $m_{(T)}$  = มวลของอวัยวะเป้าหมาย



รูป 2.17 การดูดกลืนพลังงานรังสีชนิดต่าง ๆ ในเนื้อเยื่อด้านกำเนิดของสารกัมมันตรังสี I-123

C-11 และ C-14

( แหล่งที่มา ; [http://rpop.iaea.org/RPOP/RPoP/Content/Documents/Training/NuclearMedicine/Lectures/RPNM\\_Part07\\_diagnostic\\_WEB.ppt](http://rpop.iaea.org/RPOP/RPoP/Content/Documents/Training/NuclearMedicine/Lectures/RPNM_Part07_diagnostic_WEB.ppt).)

ค่า  $S_{(T \leftarrow S)}$  คำนวณได้จากผลรวมของผลคูณระหว่าง  $E_i$   $y_i$  และ  $\Phi_{i(T \leftarrow S)}$  ดังสมการ

$$S_{(T \leftarrow S)} = k \sum_i E_i y_i \Phi_{i(T \leftarrow S)} \quad (2.15)$$

- เมื่อ  $y_i$  = สัดส่วนของพลังงานรังสีแต่ละชนิดที่เกิดขึ้นในแต่ละครั้งของการถ่ายตัว  
 $E_i$  = พลังงานรังสีแต่ละขนาด ที่เกิดจากการถ่ายตัวของอะตอนสารกัมมันตรังสี มีหน่วยเป็นเมกกะอิเล็กตรอน โวลต์ (MeV)  
 $\Phi_{i(T \leftarrow S)}$  = ส่วนของปริมาณรังสีที่อวัยวะเป้าหมายดูดกลืนได้จากพลังงานรังสีที่แผ่จาก อวัยวะด้านกำเนิดต่อหน่วยของอวัยวะเป้าหมาย (specific absorbed fraction; SAF) มีหน่วยเป็น กรัม<sup>(1)</sup>  
 $k$  = ค่าคงที่ สำหรับการปรับหน่วย

$k = 1.6 \times 10^{-4}$  สำหรับ  $S_{(T \leftarrow S)}$  ที่มีหน่วยเป็นมิลลิเกรย์ต่อเมกะเบคเคอร์ล-วินาที ( $mGy / MBq \cdot s$ )

$k = 2.13$  สำหรับ  $S_{(T \leftarrow S)}$  ที่มีหน่วยเป็นแรดต่อไมโครกรี-ชั่วโมง ( $rad / \mu Ci \cdot h$ )

$$\text{หรือ} \quad S_{(T \leftarrow S)} = k \sum_i E_i y_i \frac{\phi_{i(T \leftarrow S)}}{m_{(T)}} \quad (2.16)$$

### 3. ขั้นตอนการคำนวณปริมาณรังสีคุณลักษณะในอวัยวะเป้าหมาย

เมื่อนำค่า  $S_{(T \leftarrow S)}$  ที่ได้แทนค่าในสมการ 2.1 จะได้ปริมาณรังสีคุณลักษณะเดียวกันของอวัยวะเป้าหมาย ดังสมการ 2.18

$$\overline{D}_{(T)} = \frac{k \tilde{A}_{(S)} \sum_i E_i y_i \phi_{i(T \leftarrow S)}}{m_{(T)}} \quad (2.17)$$

ในปัจจุบันมีการติดตั้งเพย์ฟอร์มูลาของอวัยวะภายในและค่า SAF ที่ได้จากการคำนวณ โดยใช้หุ่นจำลองร่างกายมนุษย์ ที่ได้พัฒนาขึ้นโดย MIRD และมีการใช้โปรแกรมคอมพิวเตอร์ที่มีประสิทธิภาพสูง เช่น โปรแกรม MIRDOSE เวอร์ชัน OLINDA /EXM ที่มีข้อมูลของหุ่นจำลอง 10 ตัว รวมทั้งมีข้อมูลของหุ่นจำลองที่เป็นอวัยวะ เป็นฐานข้อมูลที่ใช้ในการคำนวณ ปริมาณรังสีภายในร่างกายด้วยวิธี MIRD สำหรับสารเกสรรังสีกว่า 800 ชนิด ทำให้การคำนวณค่าปริมาณรังสีมีความสะดวกรวดเร็วกว่าเดิม ค่าที่ได้ใกล้เคียงความจริงมากยิ่งขึ้น

## 2.6 โปรแกรมรังสีคณิต OLINDA /EXM

โปรแกรมรังสีคณิต OLINDA/EXE ย่อมาจาก Organ Level Internal Dose Assessment / Exponential Modeling เป็นโปรแกรมคำนวณปริมาณรังสีภายในร่างกายโดยวิธีของ MIRD ที่มีการพัฒนาปรับปรุงมาจากโปรแกรมรังสีคณิต MIRDOSE มีการใช้ฐานข้อมูลเดียวกัน คือ ข้อมูลของหุ่นจำลองคริสตี้ - เอกโคร์และหุ่นจำลองของสถาบัน 10 ตัว คือ หุ่นจำลองผู้ใหญ่เพศชายและหญิง เด็กแรกเกิด เด็กอายุ 1 ปี 5 ปี 10 ปี และ 15 ปี หญิงตั้งครรภ์ 3 เดือน 6 เดือน และ 9 เดือน และมีการเพิ่มข้อมูลอีกหลายอย่าง ได้แก่ ข้อมูลหุ่นจำลองอวัยวะโดยอวัยวะหนึ่งโดยเฉพาะ คือ ศีรษะ/สมอง (head/brain) ต่อมลูกหมาก (prostate gland)

ไต (kidney) โพรงเยื่อนุช่องท้อง(peritoneal cavity) กระดูกและไขสันหลัง (bone and marrow) ข้อมูลสารเกสรรังสีกว่า 800 ชนิดเทียบจาก MIRDose ที่มีเพียง 240 ชนิด เท่านั้น ใช้ข้อมูล dose conversion factor (DFs) หรือค่า S-value สำหรับทุกอวัยวะต้นกำเนิดรังสีและ อวัยวะเป้าหมายจากหุ่นจำลองแต่ละอายุและสารเกสรรังสีแต่ละชนิด โดยสามารถปรับเปลี่ยน น้ำหนักของอวัยวะภายในได้ ซึ่งเมื่อน้ำหนักอวัยวะภายในมีการเปลี่ยนแปลงโปรแกรมก็จะมีการ ปรับเปลี่ยนปริมาณรังสีที่อวัยวะภายใน

ในการคำนวณปริมาณรังสีภายในด้วยโปรแกรมรังสีคอมพิวเตอร์ OLINDA /EXE ต้อง เลือกชนิดของสารเกสรรังสี อายุของหุ่นจำลอง ให้ถูกต้อง และข้อมูลที่จะต้องป้อนเข้าไปใน โปรแกรมได้แก่ ค่าครึ่งชีวิตยังผล (effective half life) หรือค่าครึ่งชีวิตทางชีวภาพ (biological half - life) ของสารกัมมันตรังสี ค่า  $\bar{A}_{(s)}$  หรือร้อยละของการอพทек ของอวัยวะต้นกำเนิดรังสี จากนั้น โปรแกรมก็จะคำนวณค่าปริมาณรังสีและแสดงออกมาเป็น ค่าปริมาณรังสีดูดกลืน และค่า ปริมาณรังสียังผล